

XVII CURSO NACIONAL DE NEURORRADIOLOGÍA

Neurorradiología en la Patología Vascular Cerebral

22-26 febrero 2021



EDICIÓN VIRTUAL



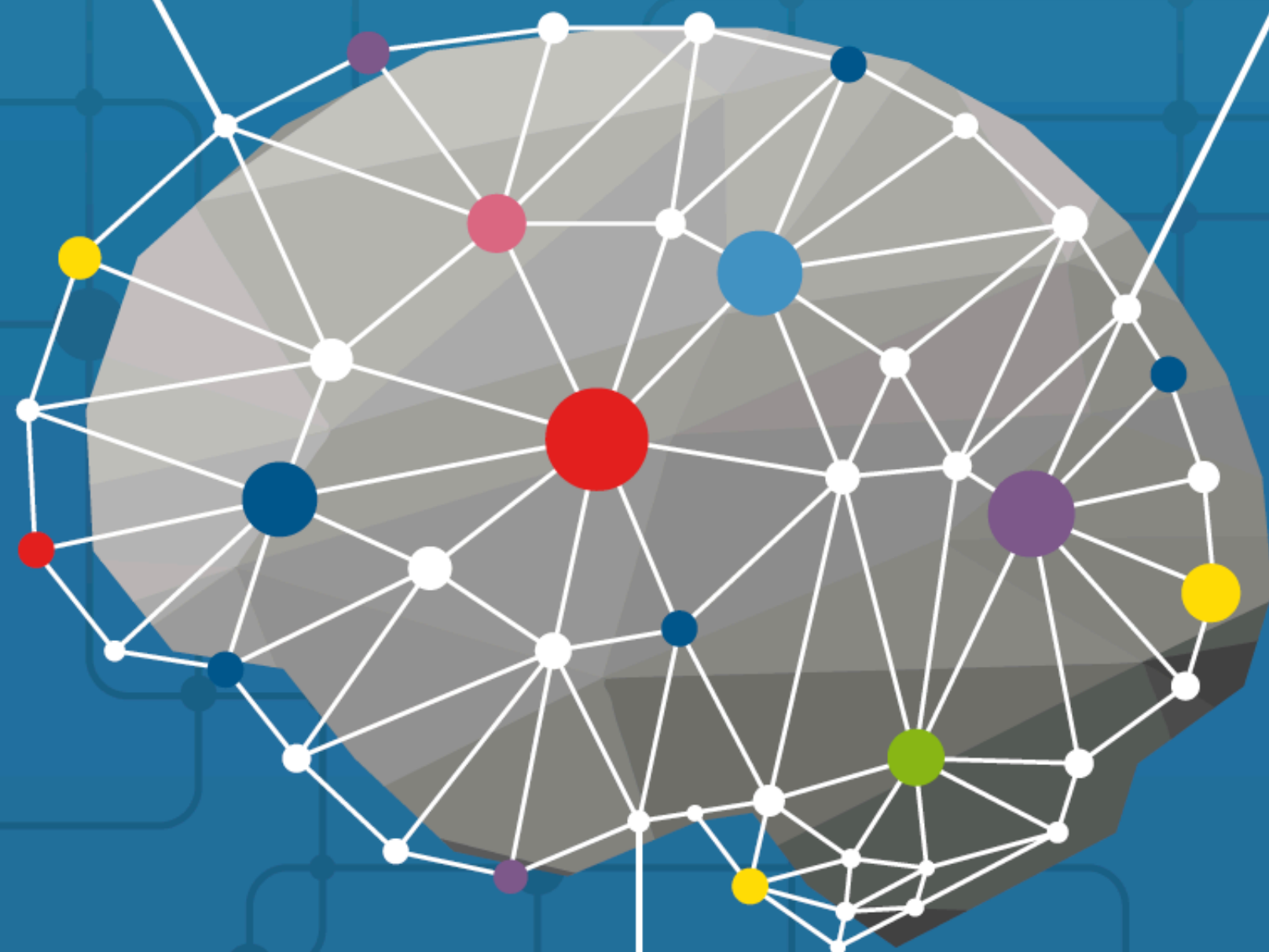
Ictus aproximación clínica

Francisco Purroy
*HLA Hospitales
Clínica NovAliança Lleida*

XVII CURSO NACIONAL DE NEURORRADIOLOGÍA

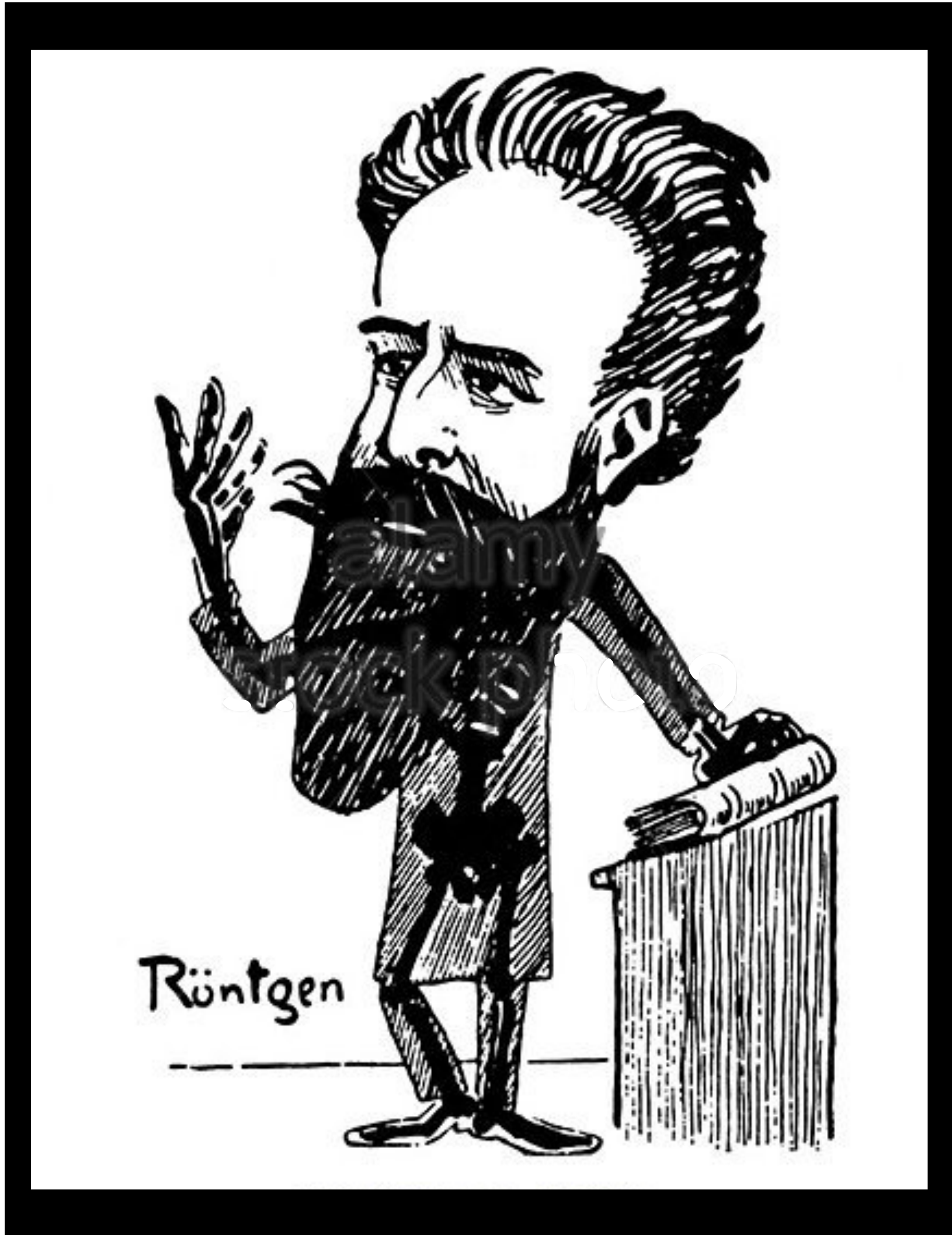
Neurorradiología en la Patología Vascular Cerebral

22-26 febrero 2021

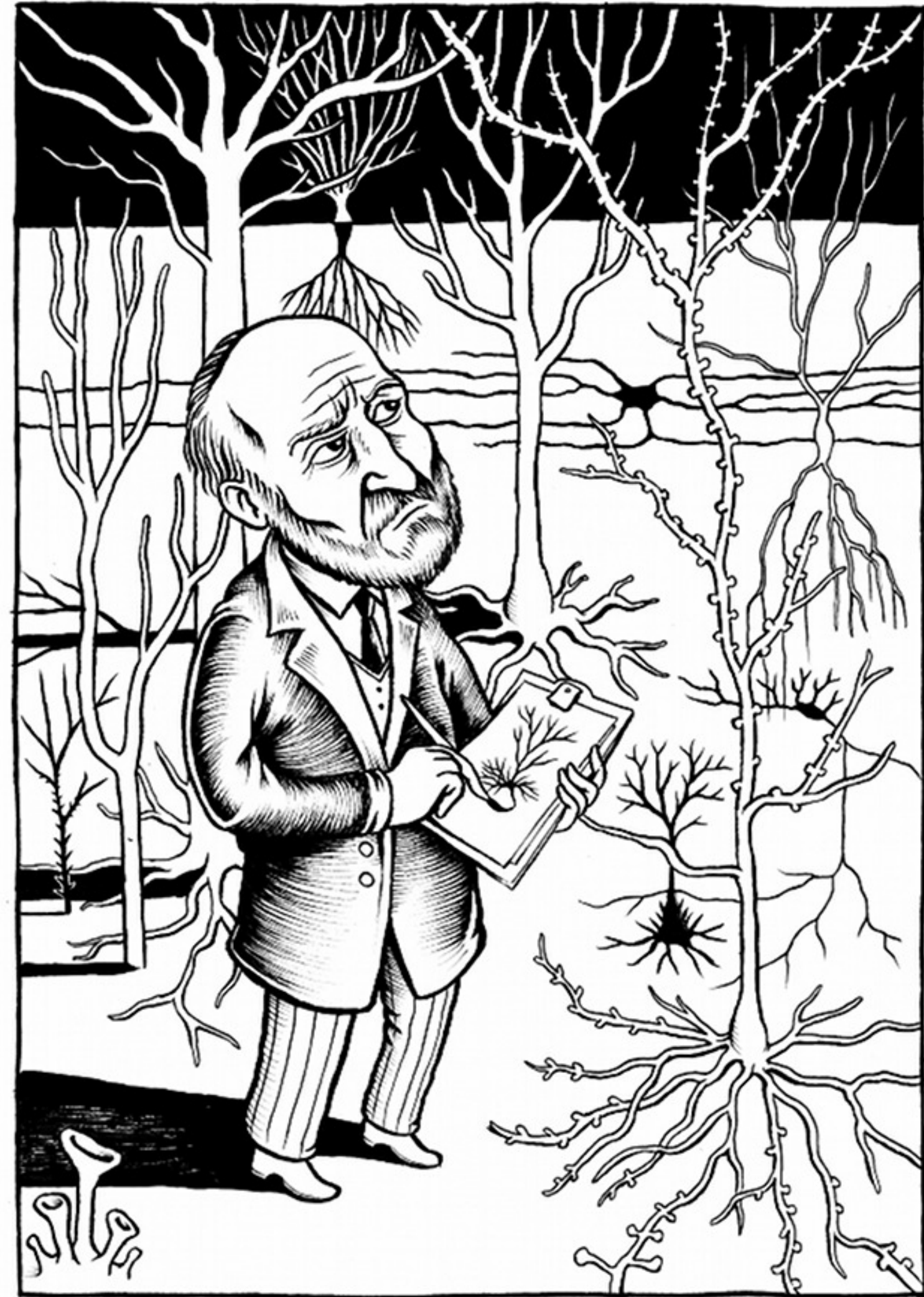


EDICIÓN VIRTUAL





Röntgen



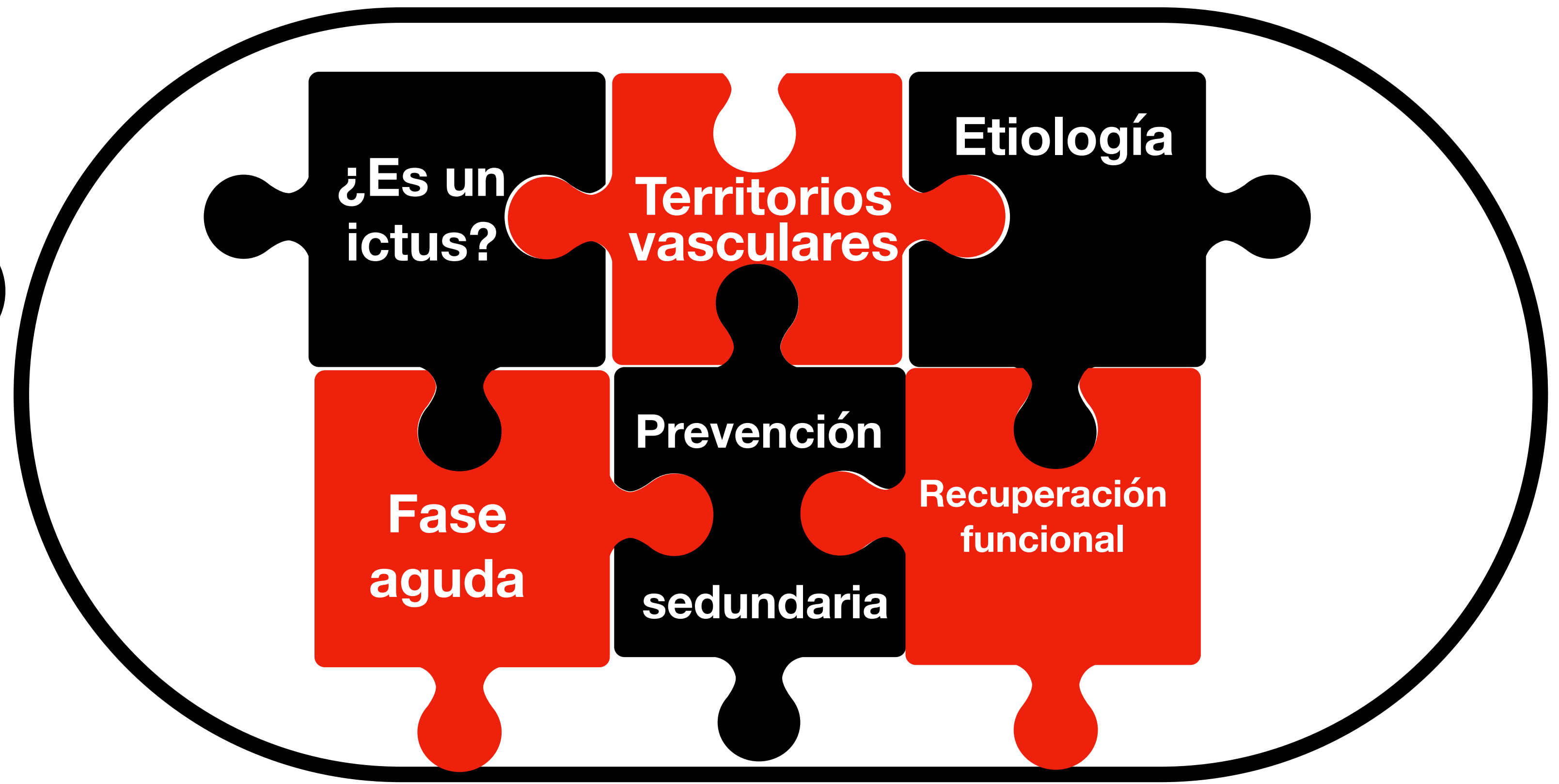
Cajal



Röntgen



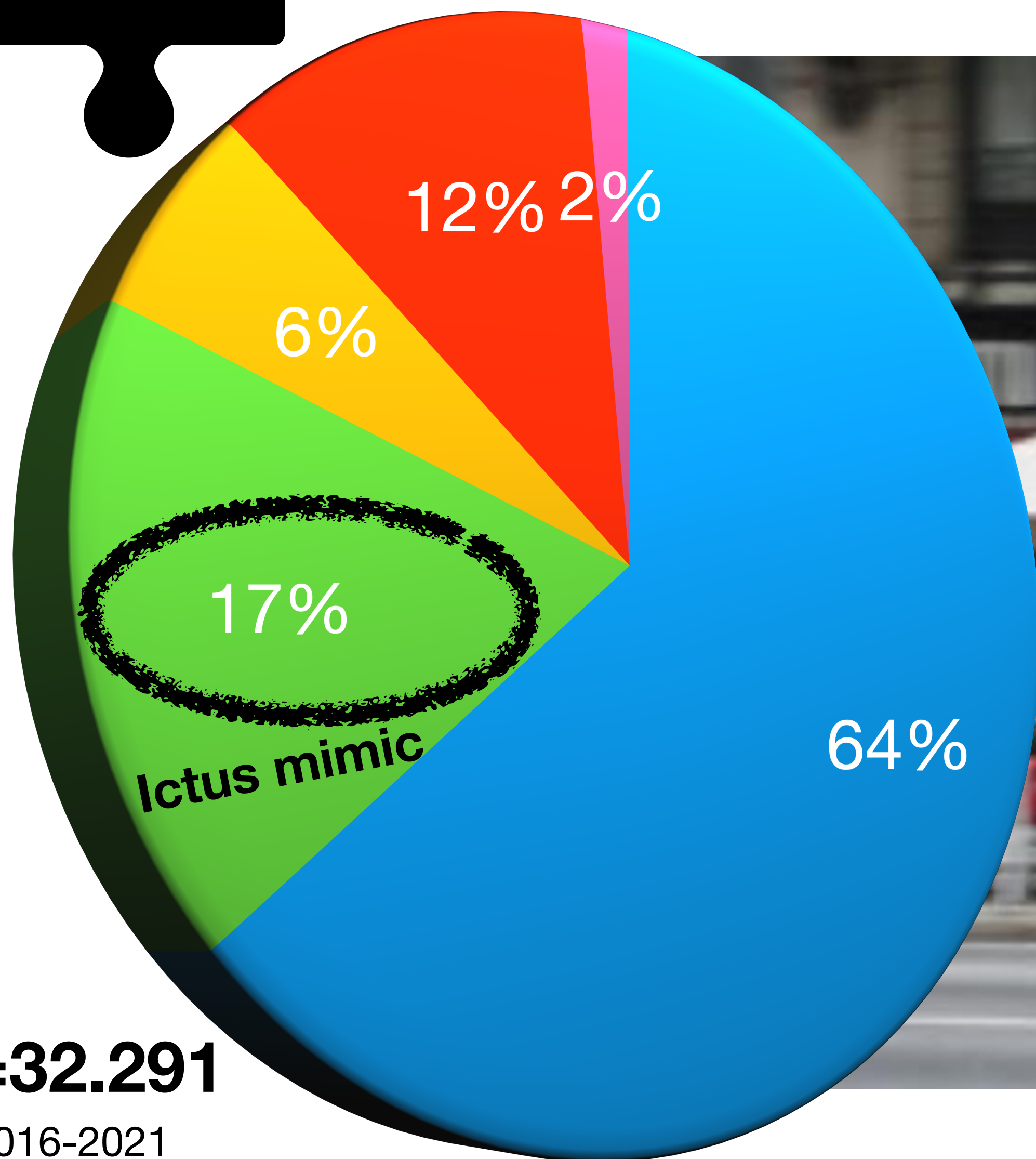
Cajal



**aproximación clínica
del ictus**

¿Es un ictus?

- Ictus isquémico
- Ictus hemorrágico
- Ictus mimic
- HSA
- AIT



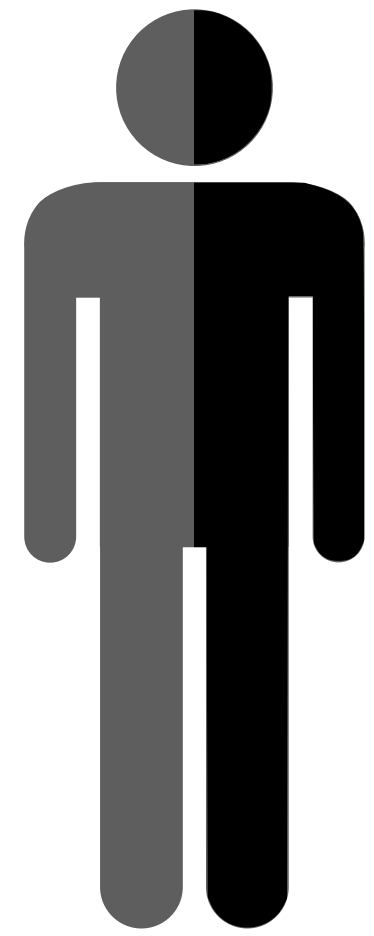
N=32.291

2016-2021

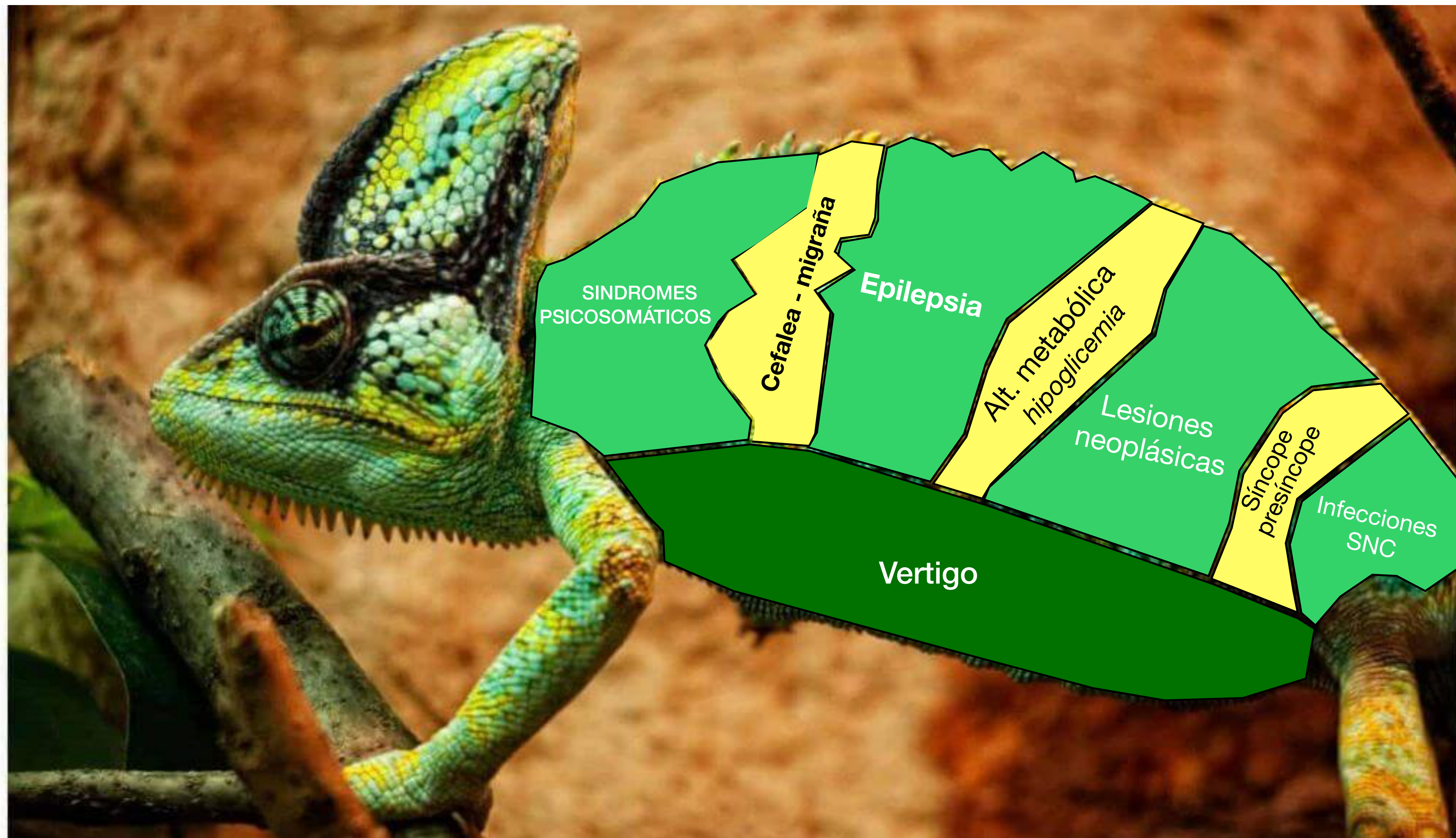
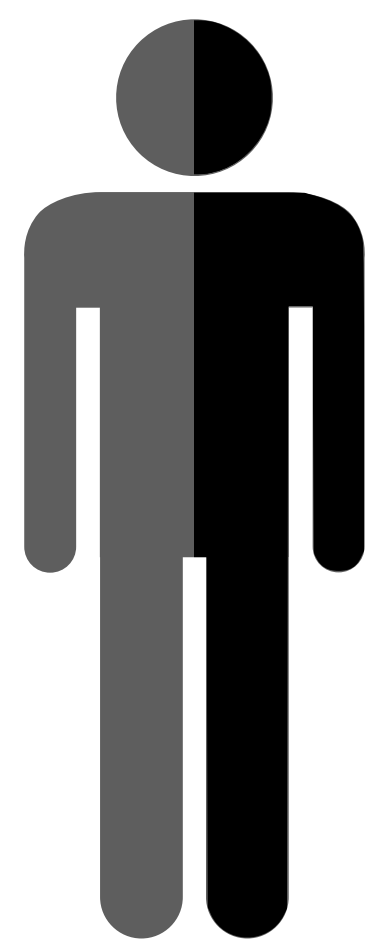
Registre Codi Ictus Catalunya (CICAT)

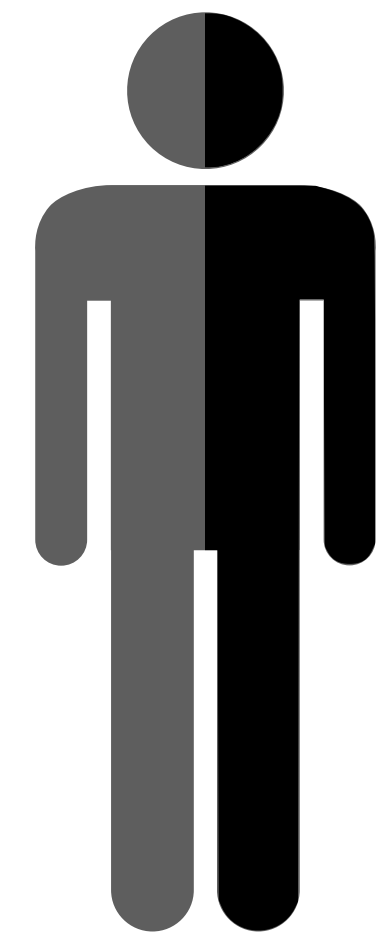
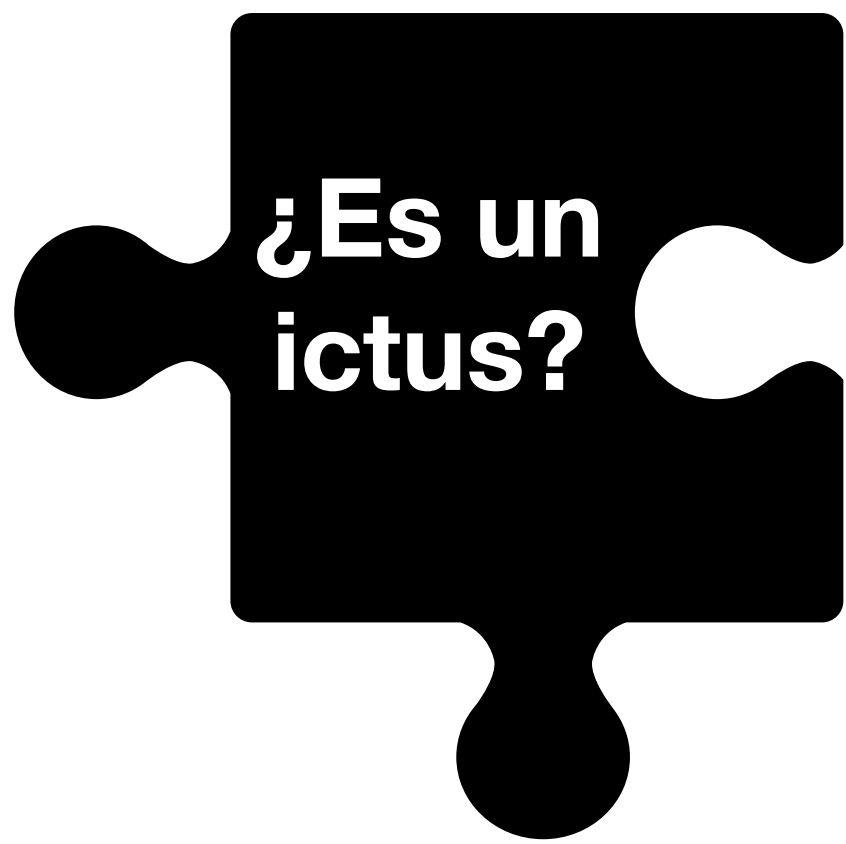


¿Es un
ictus?



¿Es un
ictus?





- Loss of consciousness
- Urinary or fecal incontinence
- Generalized weakness
- Migratory symptoms
- Positive visual symptoms
- Confusion
- Isolated dysarthria, diplopia, tinnitus or vertigo

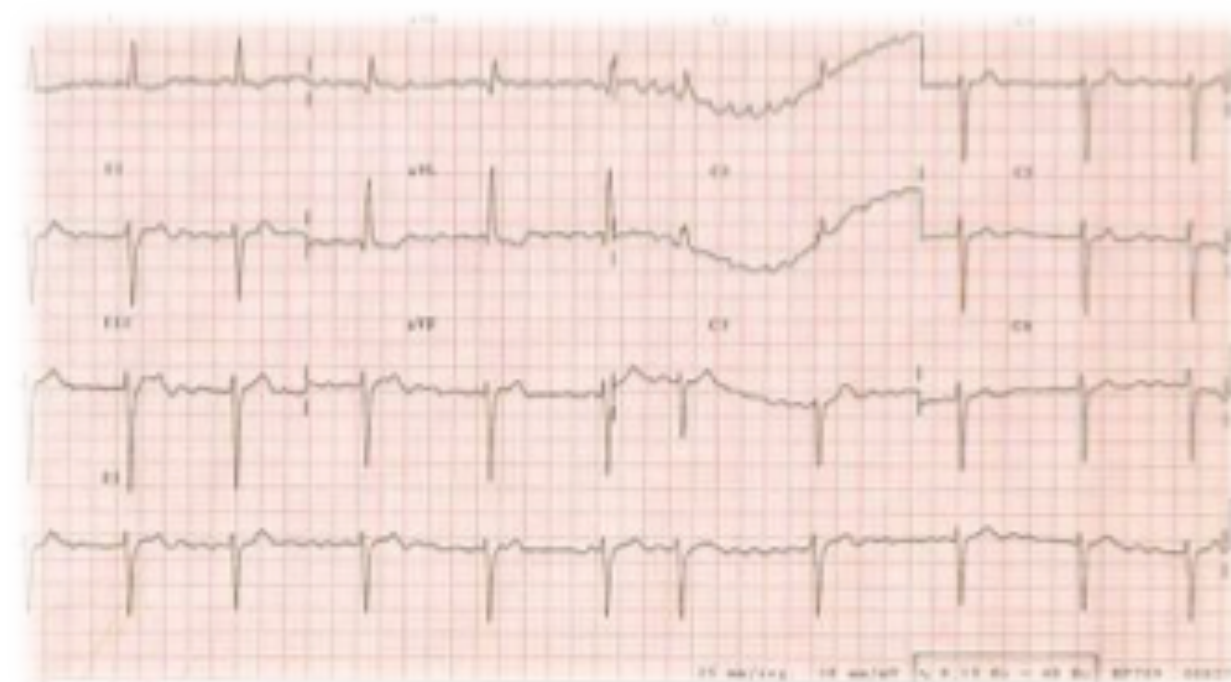
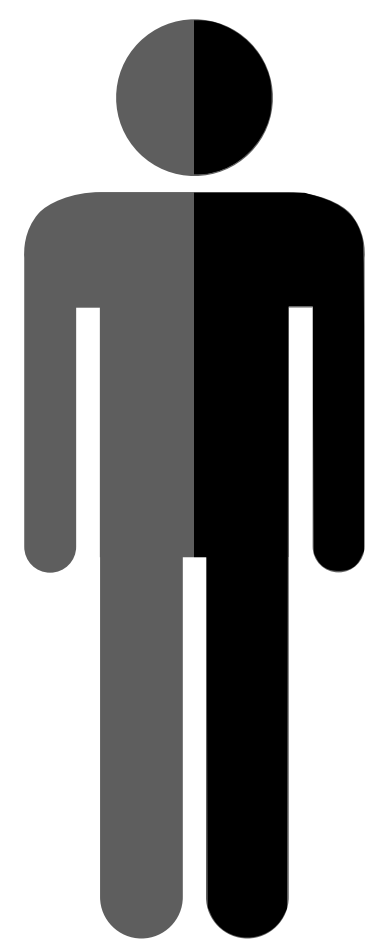
MIMIC STROKE

TRUE STROKE

- The presence of facial paresis, arm drift or abnormal speech increases the likelihood of brain ischemia
OR 5,5 (3.3-9.1)

Goldstein & Simel. JAMA 2005

¿Es un ictus?



¿Es un ictus?

Ictus isquémico vs. ictus hemorrágico

JAMA[®]

Online article and related content current as of October 1, 2010.

Does This Patient Have a Hemorrhagic Stroke?: Clinical Findings Distinguishing Hemorrhagic Stroke From Ischemic Stroke

Shauna Runchey; Steven McGee

JAMA. 2010;303(22):2280-2286 (doi:10.1001/jama.2010.754)

Table 2. Accuracy of Findings for Diagnosing Hemorrhagic Stroke^a

Finding	No. of Patients	Hemorrhage, No. (%)	Sensitivity, % (95% CI)	Specificity, % (95% CI)	Positive LR (95% CI)
Risk factors					
Age ≤60 y ³⁵	1510	237 (16)	50 (43-56)	70 (68-73)	1.7 (1.4-1.9)
Alcohol consumption ¹⁰	178	27 (15)	48 (29-67)	70 (62-77)	1.6 (1-2.5)
Male ^{16-18,28,35}	3107	635 (20)	57 (53-61)	51 (47-54)	1.2 (1.1-1.3)
Hypertension ^{10,11,16-18,28,35}	4193	776 (19)	68 (60-75)	40 (33-47)	1.1 (1.0-1.2)
Cigarette smoking ^{11,28}	1187	216 (18)	38 (22-55)	52 (45-79)	0.79 (0.45-1.4)
Diabetes mellitus ^{11,13,16,28,29,35}	3866	681 (18)	17 (9-25)	74 (66-81)	0.64 (0.43-0.95)
Prior stroke ^{17,35}	1622	295 (18)	11 (4-18)	79 (67-91)	0.59 (0.17-2.0)
Hyperlipidemia ^{10,11,16}	2028	300 (15)	7 (0-15)	78 (68-89)	0.48 (0.2-1.1)
Coronary artery disease ^{11,16,35}	3420	523 (15)	6 (0-13)	83 (67-100)	0.44 (0.31-0.61)
Atrial fibrillation ^{11,16,35}	3420	523 (15)	4 (0-7)	90 (89-91)	0.44 (0.25-0.78)
Peripheral artery disease ^{10,35}	1710	270 (16)	3 (1-5)	91 (86-96)	0.41 (0.2-0.83)
Prior transient ischemic attack ^{10,11,16,35}	3478	523 (15)	7 (3-11)	79 (75-84)	0.34 (0.18-0.65)

JAMA[®]

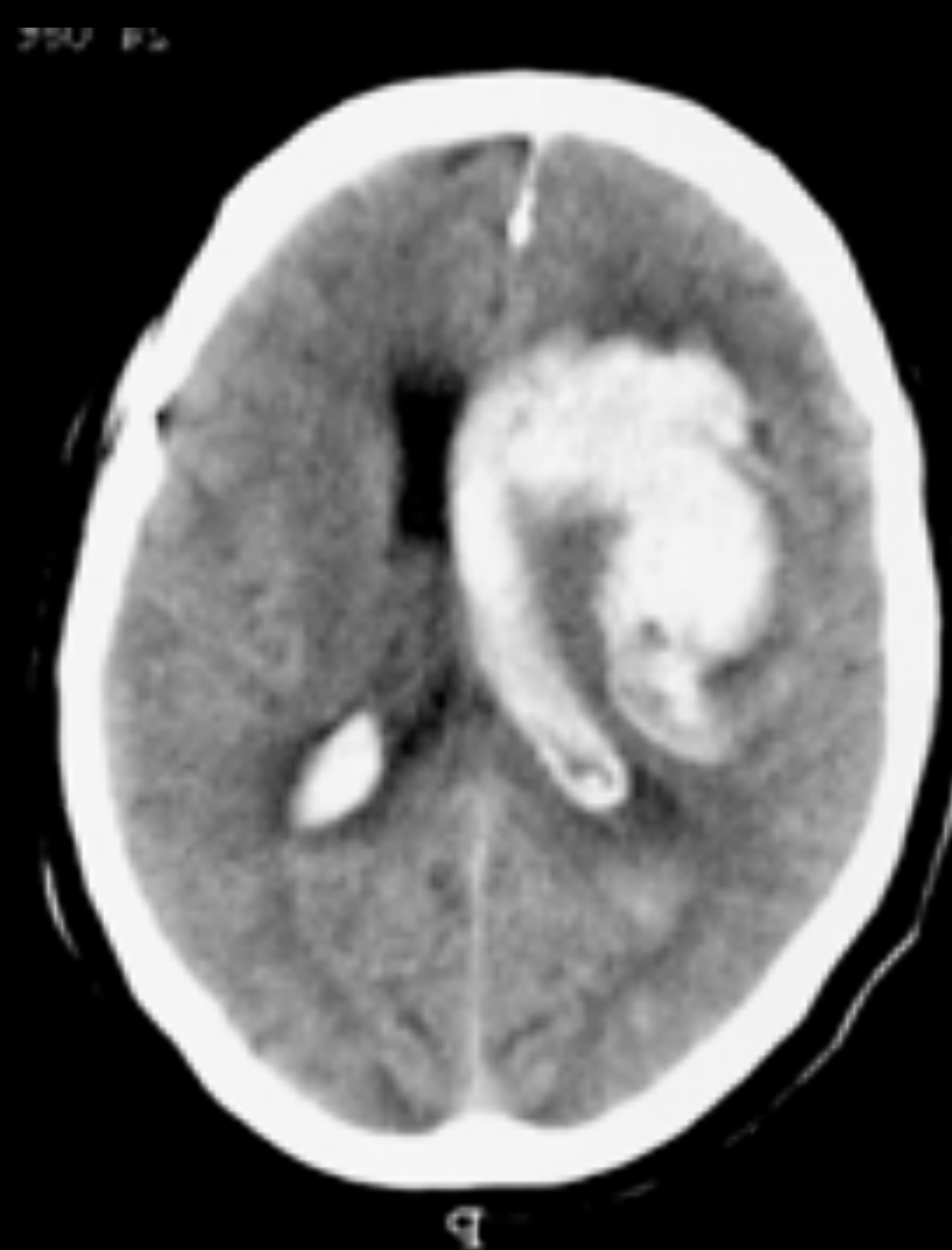
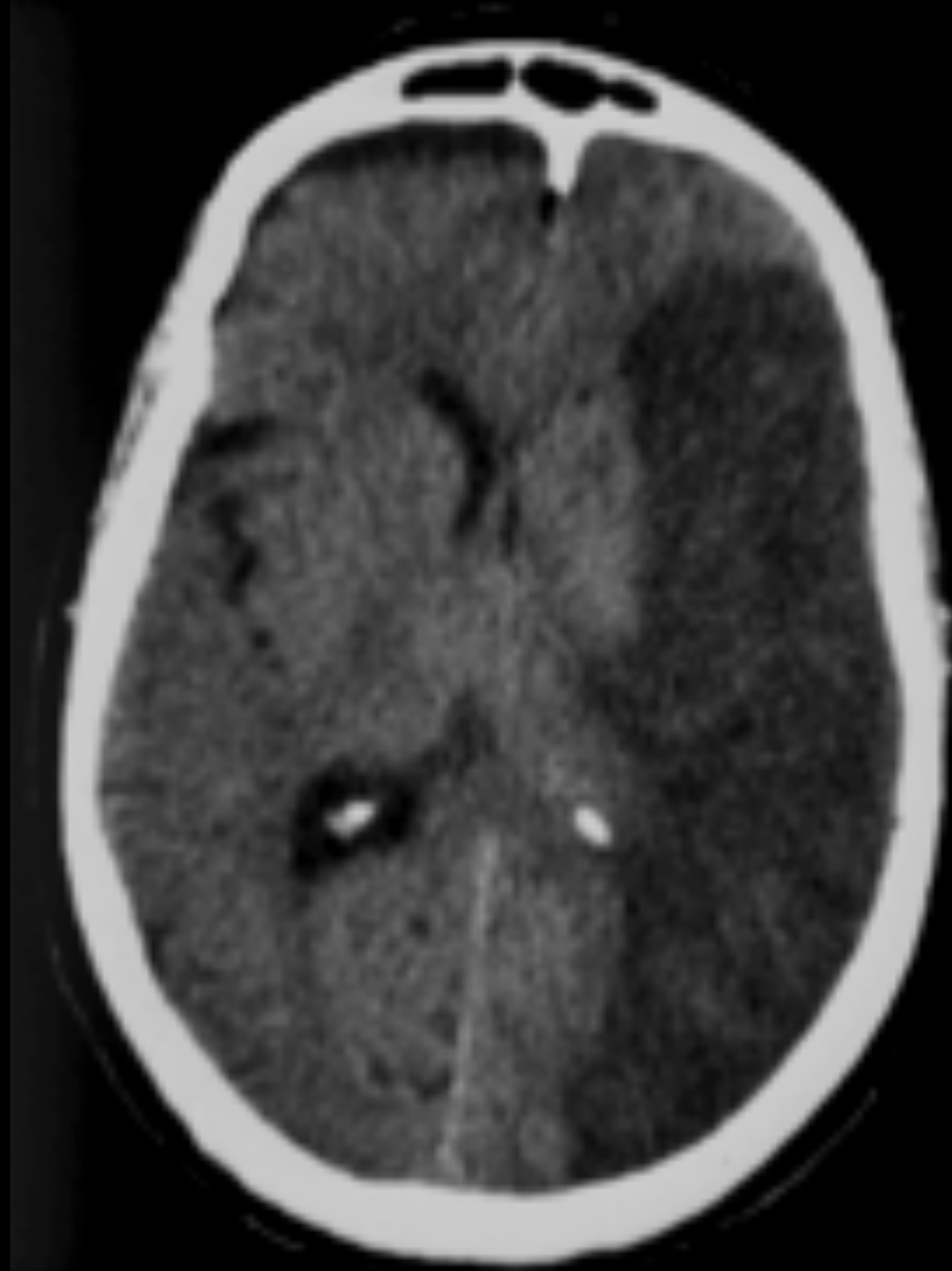
Online article and related content current as of October 1, 2010.

Does This Patient Have a Hemorrhagic Stroke?: Clinical Findings Distinguishing Hemorrhagic Stroke From Ischemic Stroke

Shauna Runchey; Steven McGee

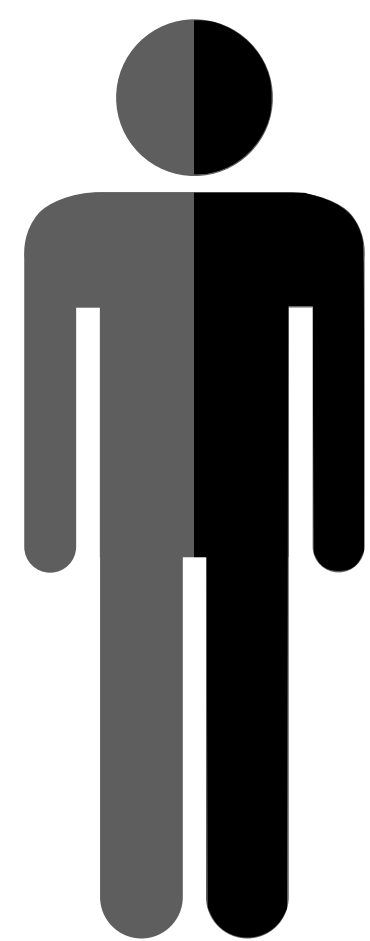
JAMA. 2010;303(22):2280-2286 (doi:10.1001/jama.2010.754)

Symptoms	No. of Patients	Hemorrhage, No. (%)	Sensitivity, % (95% CI)	Specificity, % (95% CI)	Positive LR (95% CI)
Seizures accompanying neurologic deficit ^{11,18,35}	2497	385 (15)	9 (6-12)	98 (97-100)	4.7 (1.6-14)
Vomiting ^{13,16-18,29,35}	2947	577 (20)	34 (17-52)	93 (90-96)	3.0 (1.7-5.5)
Headache ^{10,11,13,16-18,29,35}	3974	708 (18)	46 (41-52)	82 (75-89)	2.9 (1.7-4.8)
Loss of consciousness ¹⁷	174	75 (43)	47 (35-58)	82 (74-89)	2.6 (1.6-4.2)
Acute onset of deficit ¹¹	887	109 (12)	44 (35-53)	32 (29-35)	0.65 (0.52-0.81)
Physical signs					
Kernig sign, Brudzinski sign, or both ²⁹	50	23 (46)	15 (0-29)	98 (93-100)	8.2 (0.44-150)
Level of consciousness: coma ^{11,17,18}	1161	223 (19)	35 (19-50)	94 (89-99)	6.2 (3.2-12)
Neck stiffness ^{17,29}	223	97 (43)	20 (12-28)	97 (93-100)	5.0 (1.9-12.8)
Diastolic blood pressure >110 mm Hg ²⁹	50	23 (46)	48 (27-68)	89 (77-100)	4.3 (1.4-14)
Level of consciousness: drowsy ^{11,17,18}	1161	223 (19)	32 (20-44)	82 (69-96)	2.0 (1.0-3.9)
Plantar response: both extensor ^{10,17}	370	106 (29)	16 (9-23)	92 (89-96)	1.8 (0.99-3.4)
Plantar response: single extensor ^{10,17}	370	106 (29)	62 (44-81)	39 (27-51)	1 (0.67-1.2)
Hemiparesis ^{11,16,35}	3420	523 (15)	63 (25-100)	33 (0-66)	0.96 (0.9-1.0)
Plantar response: both flexor ^{10,17}	370	106 (29)	11 (5-17)	74 (69-80)	0.45 (0.25-0.81)
Level of consciousness: alert ^{17,18}	274	114 (42)	23 (15-30)	31 (12-51)	0.35 (0.24-0.5)
Cervical bruit ³⁵	1510	237 (16)	1 (0-2)	93 (91-94)	0.12 (0.03-0.47)





¿Es un
ictus?

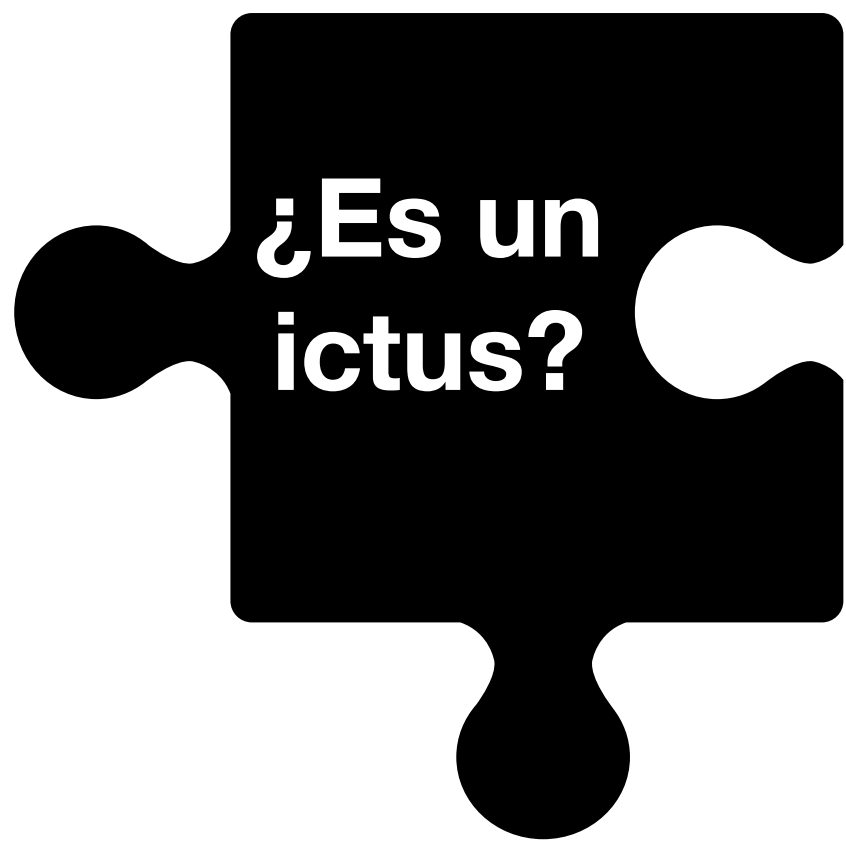


AIT

Mayor reto diagnóstico por la transitoriedad de los síntomas

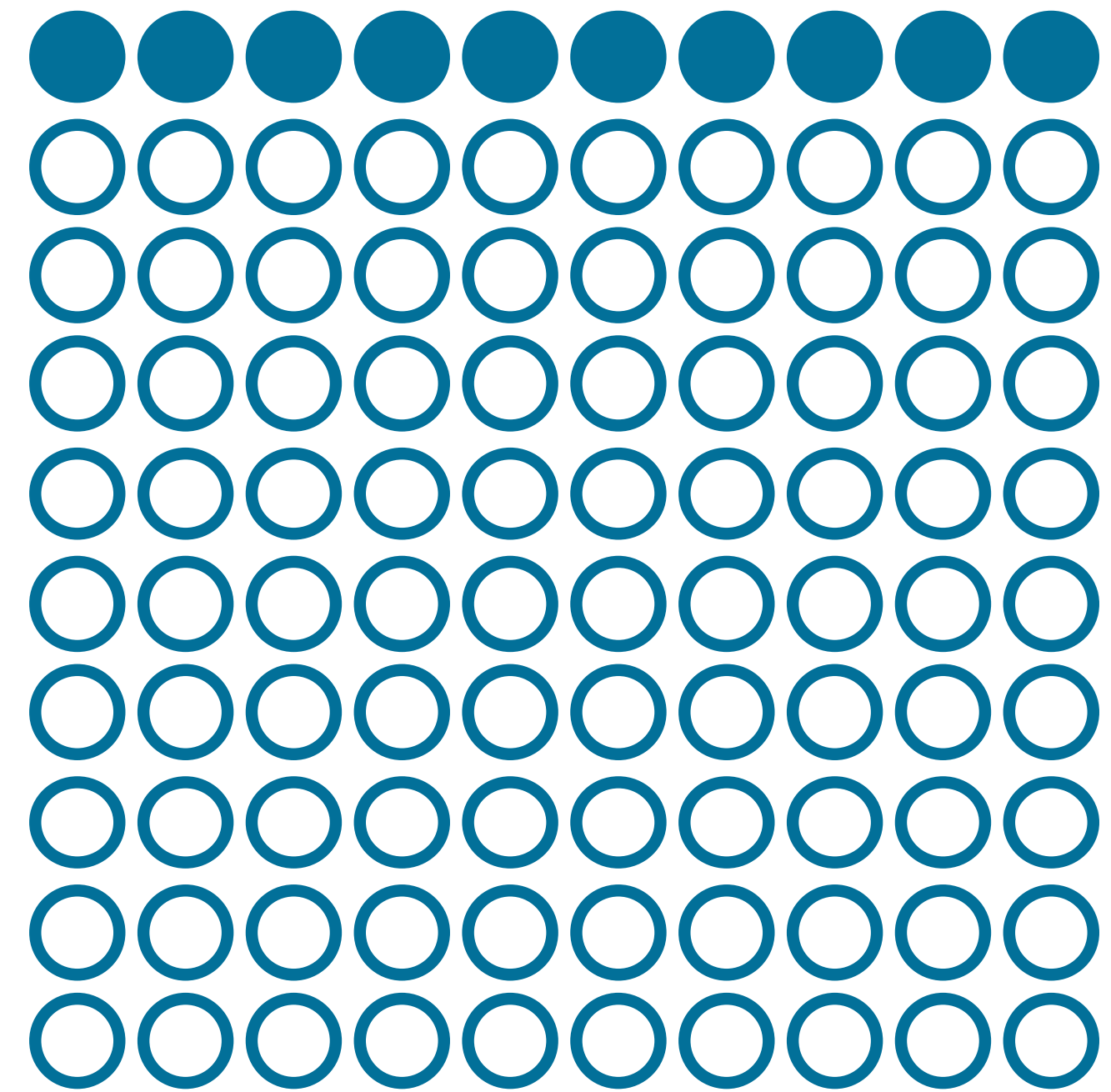
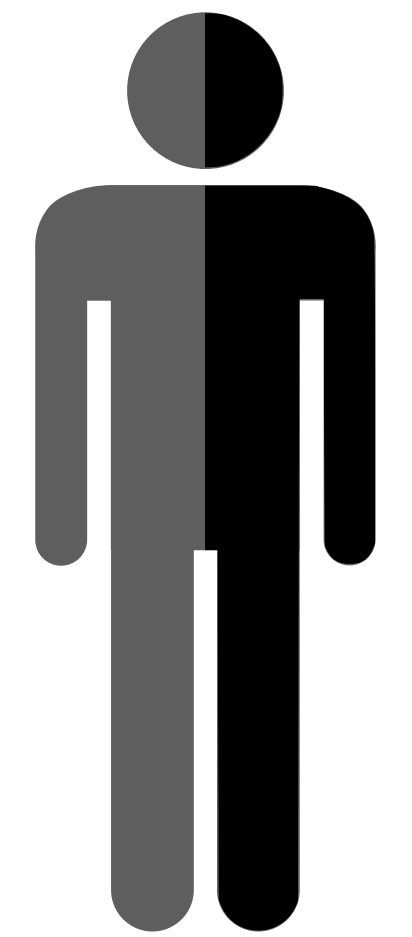
**Se debe realizar una prueba de imagen en estos pacientes para poder iniciar el
tratamiento de prevención secundaria de forma precoz**

(principal diagnóstico diferencial en neuroimagen: hematoma subdural, angiopatía amilodea y lesiones tumorales)



CAIT

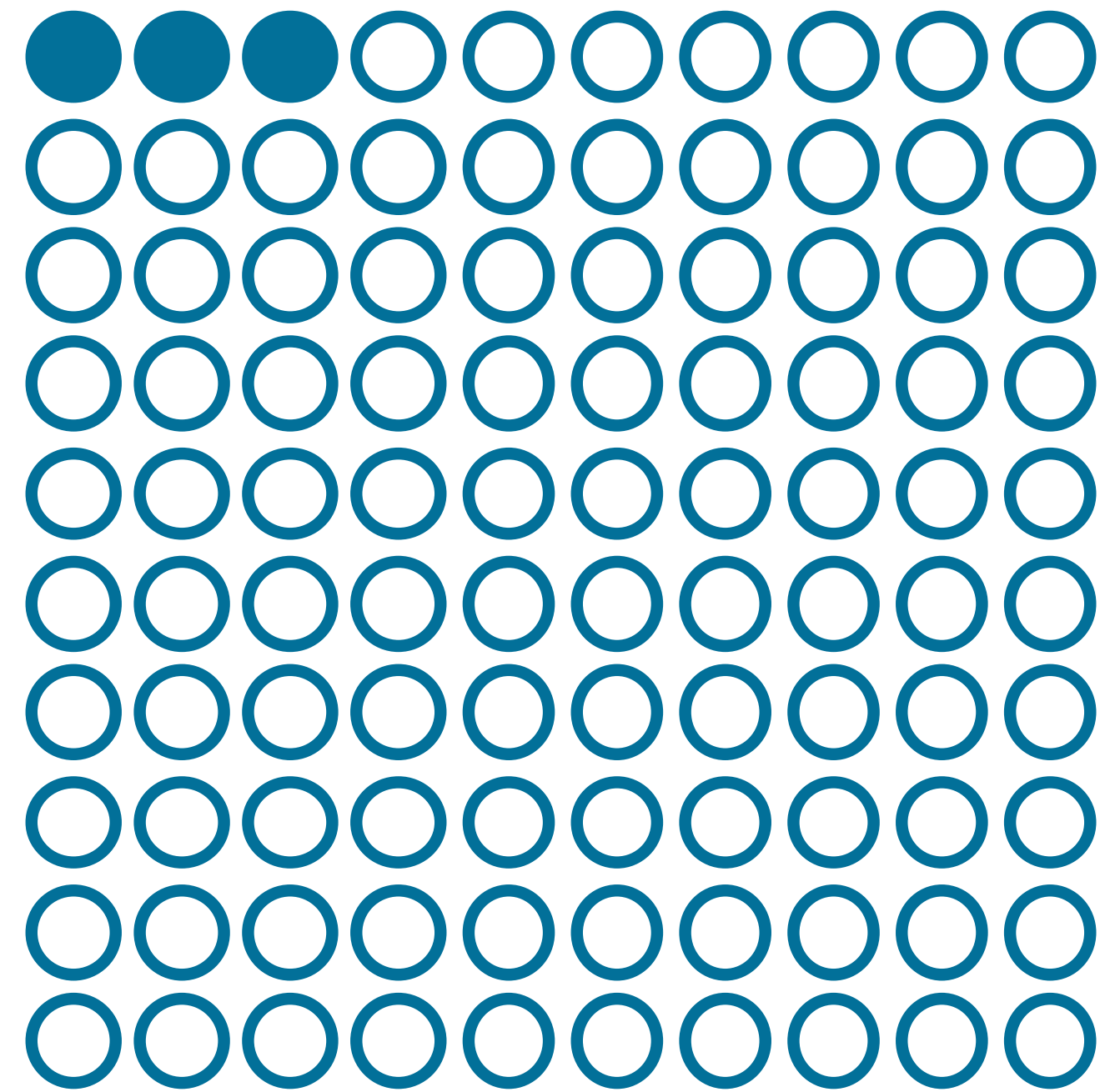
● Recurrencia 90 d ○ Sin recurrencia



Año 2000

Johnson et al. *JAMA* 2000

Manejo
→
adecuado

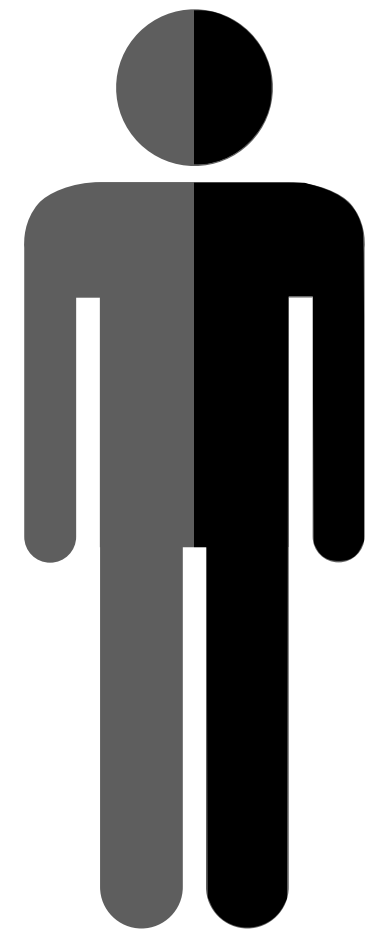


Año 2020

Valls et Purroy. *Cerebrovasc Dis* 2017


¿Es un
ictus?

CAIT




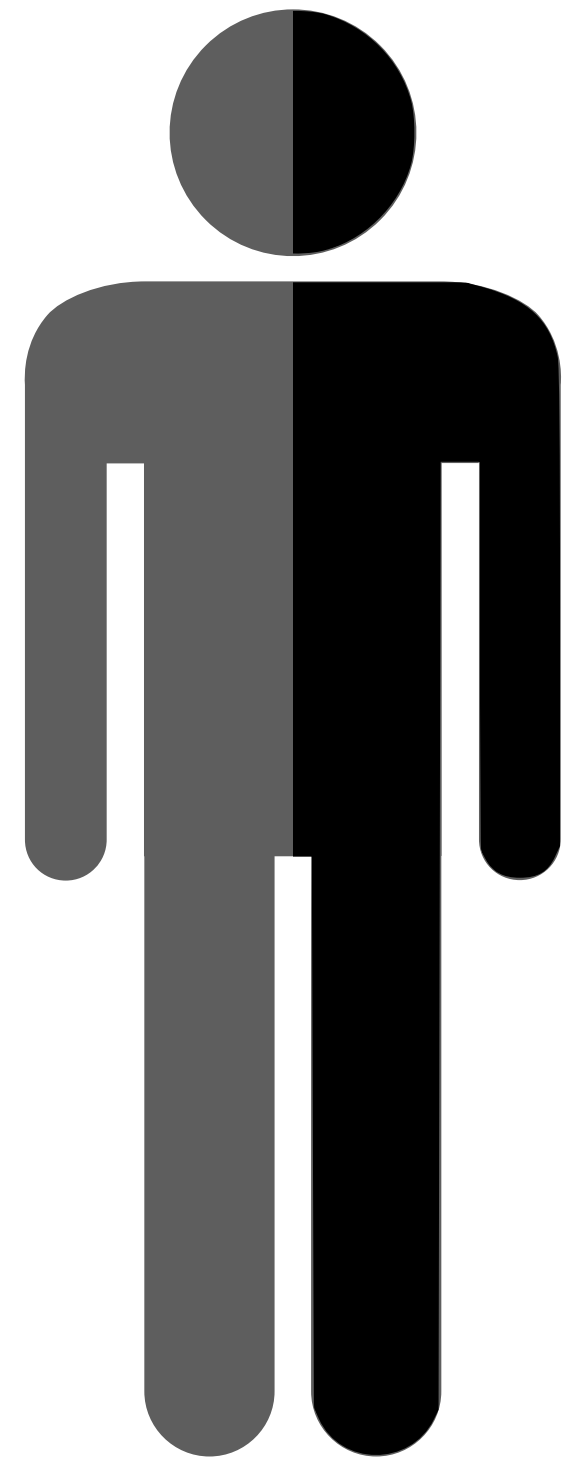
Guideline

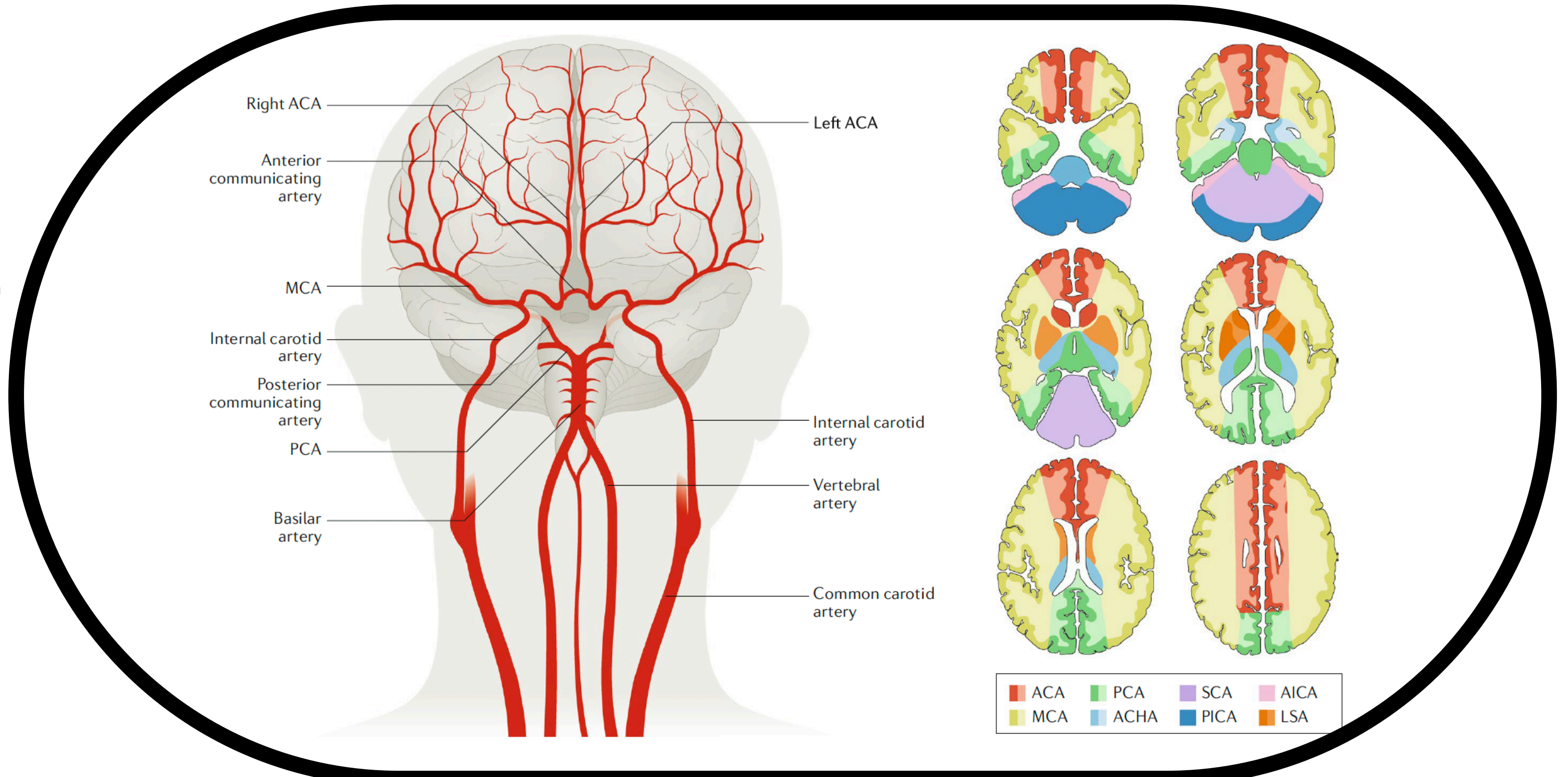
European Stroke Organisation (ESO) guidelines on management of transient ischaemic attack

Ana Catarina Fonseca^{1,*} , Áine Merwick^{2,*} , Martin Dennis³,
Julia Ferrari⁴, José M Ferro¹, Peter Kelly⁵ , Avtar Lal⁶,
Angel Ois⁷ , Jean Marc Olivot⁸ and Francisco Purroy⁹ 

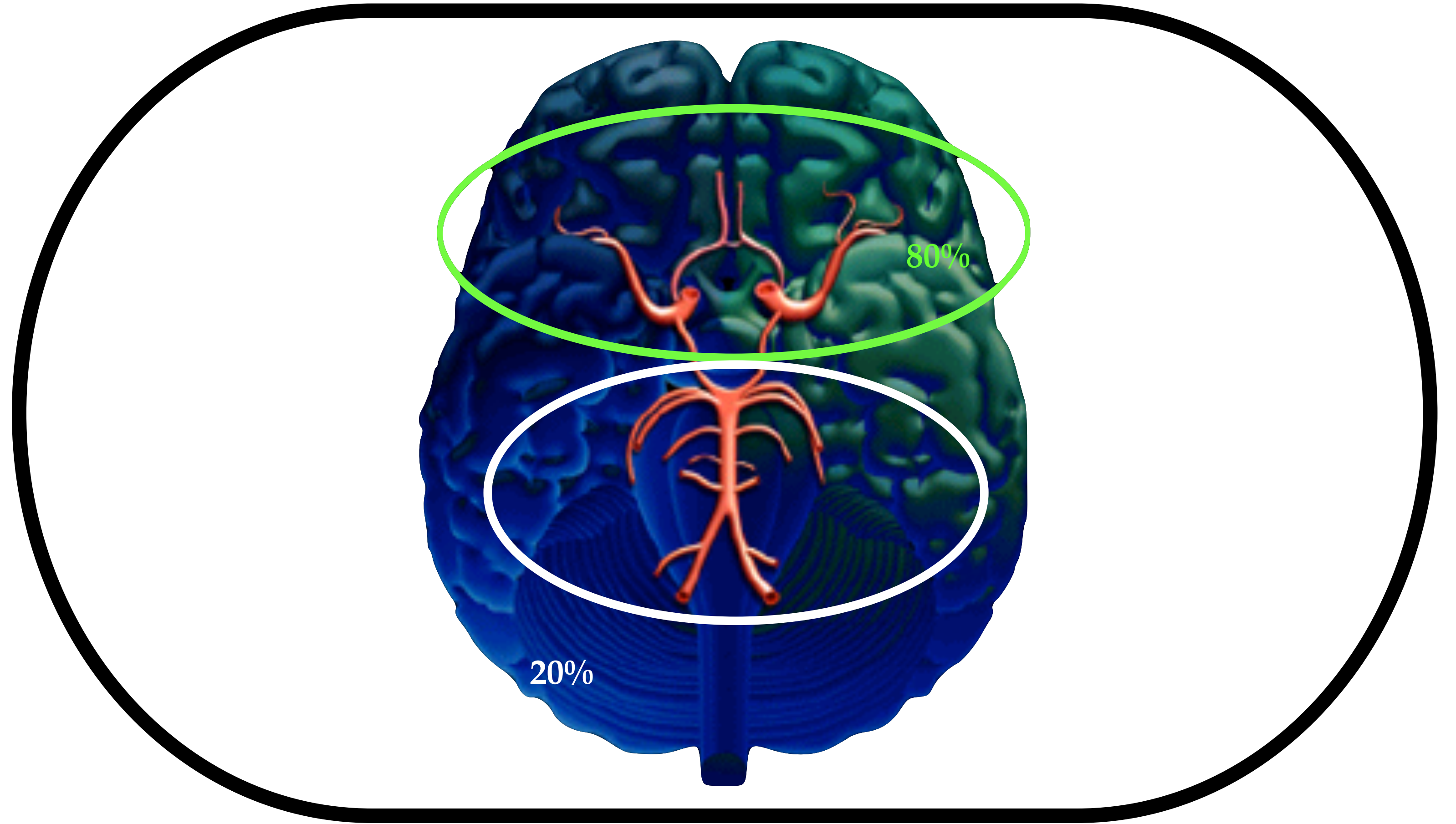
**EUROPEAN
STROKE JOURNAL**

European Stroke Journal
0(0) 1–24
© European Stroke Organisation
2021
Article reuse guidelines:
sagepub.com/journals-permissions
DOI: 10.1177/2396987321992905
journals.sagepub.com/home/eso






Campbell BCV, De Silva DA, Macleod MR, Coutts SB, Schwamm LH, Davis SM, Donnan GA. Ischaemic stroke. *Nat Rev Dis Primers*. 2019;5:70





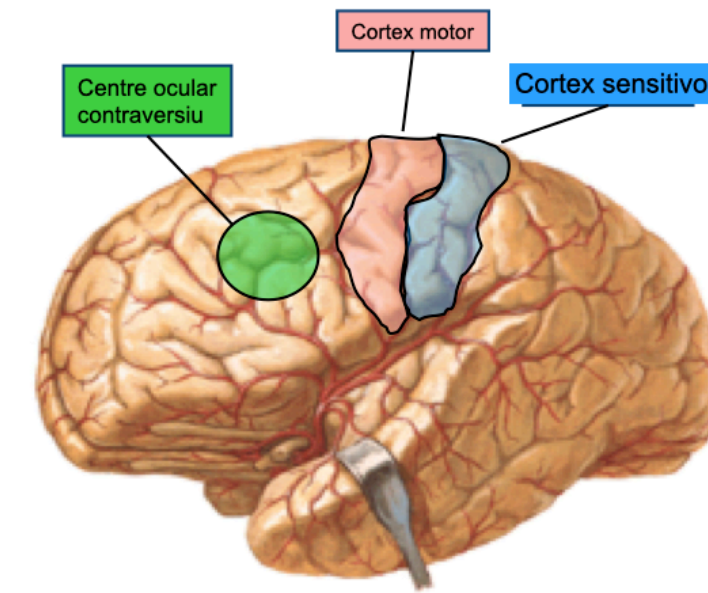
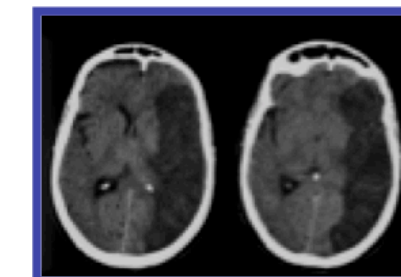
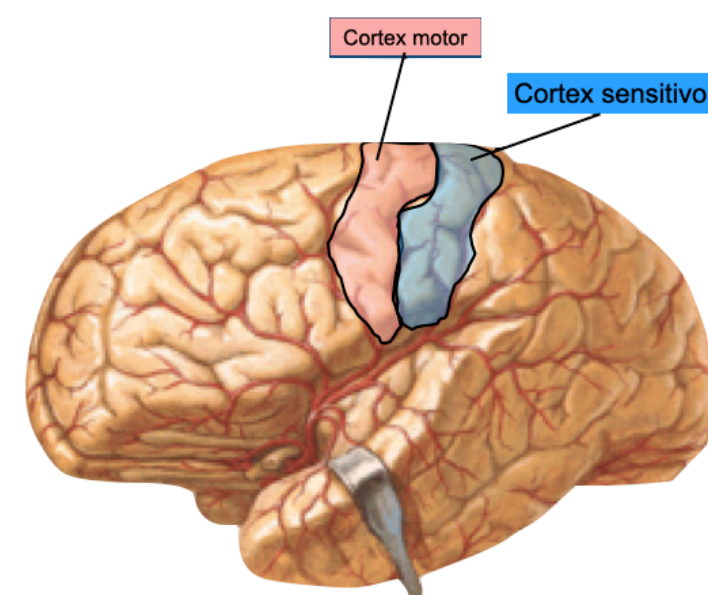
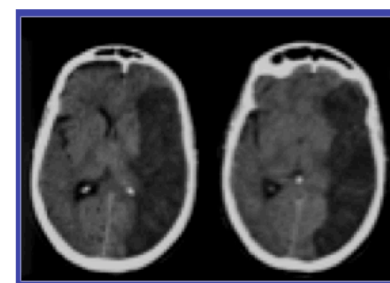
Ictus en territorio de la arteria cerebral media **izquierda**



Déficit motor y/o sensitivo
contraletal



Parálisis de la mirada conjugada:
desviación oculocefálica



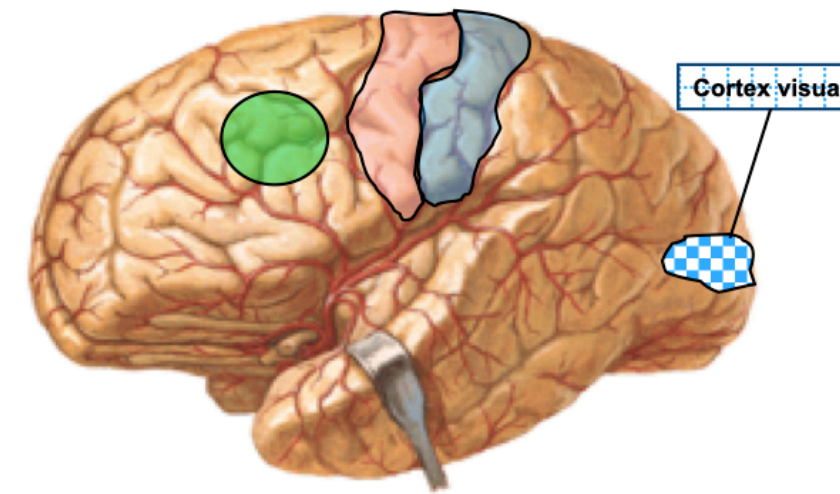
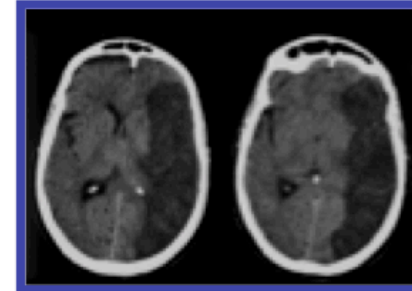
Correlación clínico-anatómica



Ictus en territorio de la arteria cerebral media **izquierda**

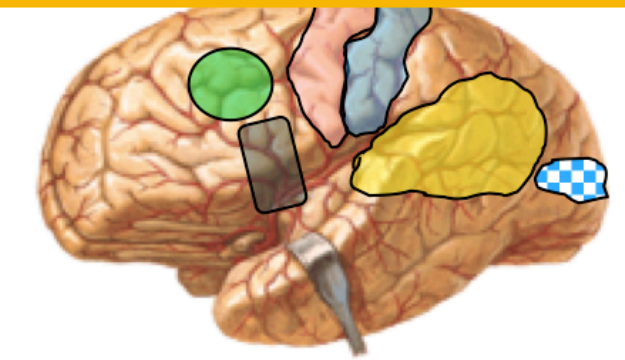
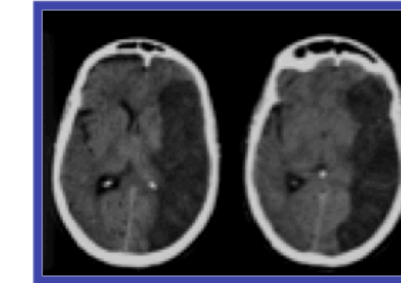


HEMIANOPSIA HOMÓNIMA
CONTRALERAL



TRASTORNO DEL LENGUAJE:
afasia global, motora, wernicke, ...

Sd de Gertmann: *acalculia, agnosia de
dedos, confusión derecha-izquierda*

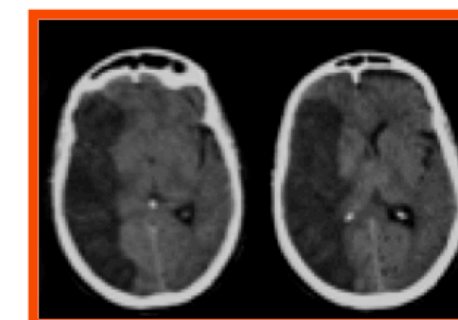
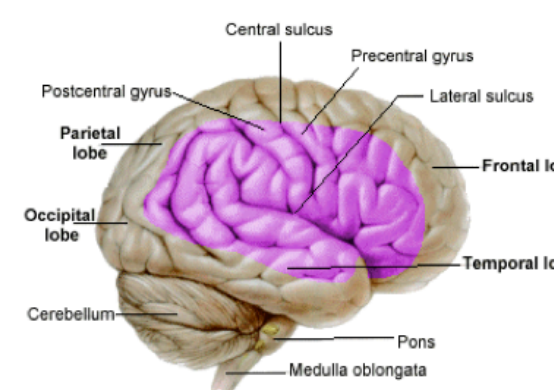


Correlación clínico-anatómica



Ictus en territorio de la arteria cerebral media **derecha**

Lesión en hemisferio no dominante



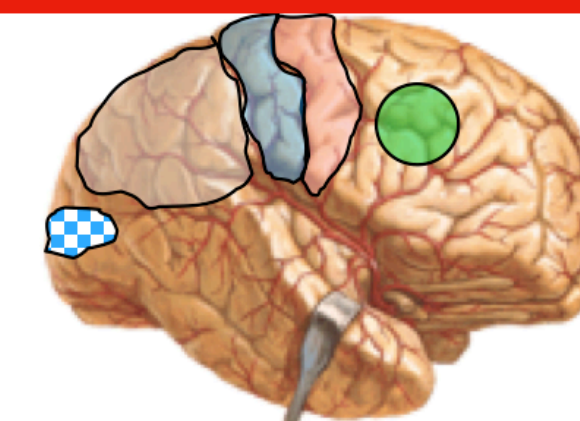
Déficit motor y/o sensitivo contraletal

Parálisis de la mirada conjugada: desviación oculocefálica

HEMIANOPSIA HOMÓNIMA CONTRALETERAL

**Heminegligencia, asomatognosia, anosognosia
Dispraxias**

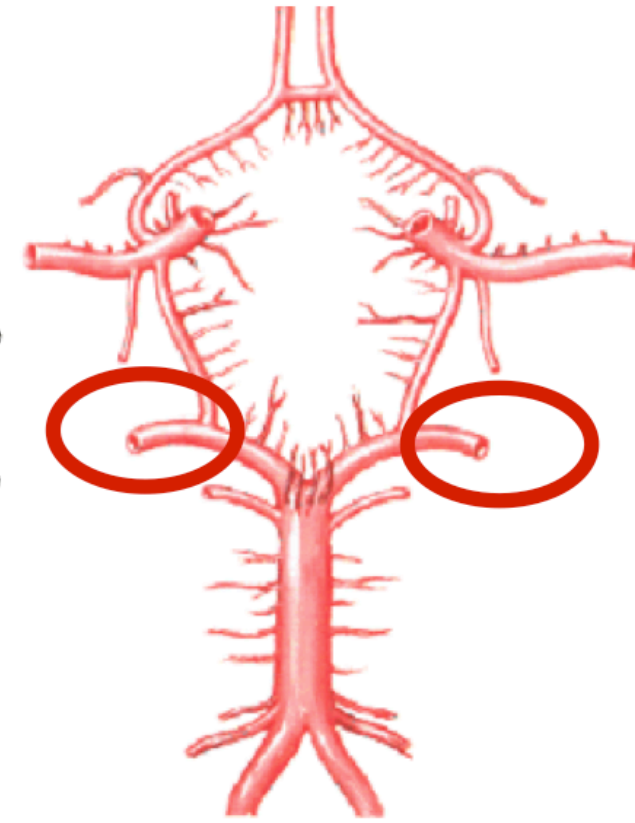
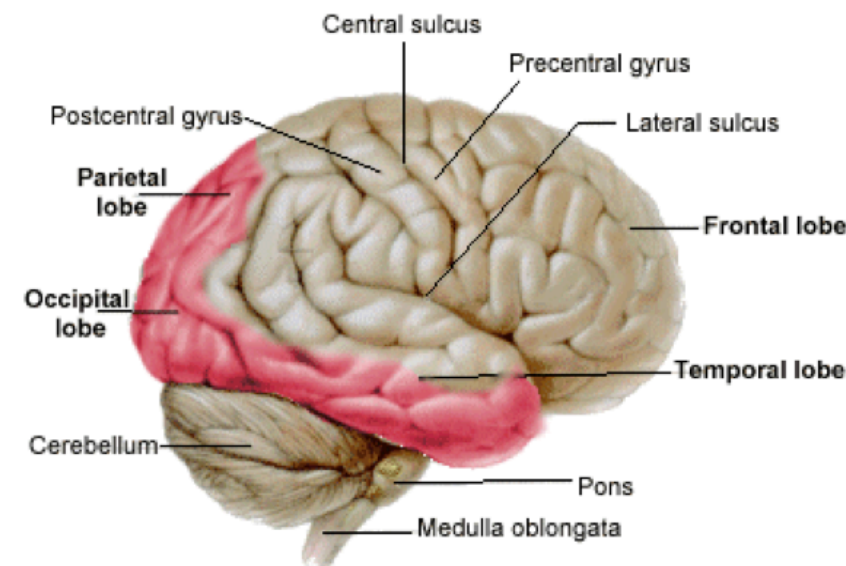
Disartria, no disfasia o afasia



Correlación clínico-anatómica



Ictus en territorio de la arteria cerebral **posterior**



- Hemianopsia/cuadrantanopsia homónima
- Agnosia visual y al color
- Alexia pura, sin agrafía
- Agitación/Sd confusional
- Prosopognosia
- Sd de Balint

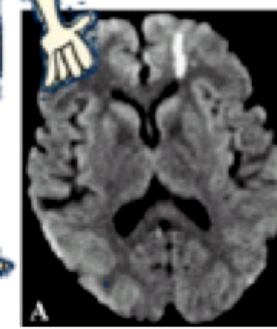
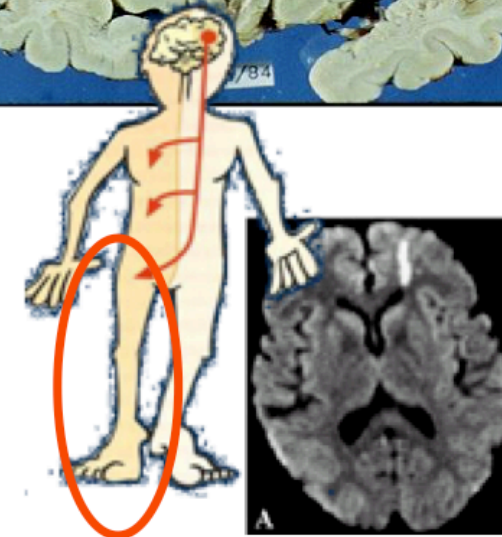
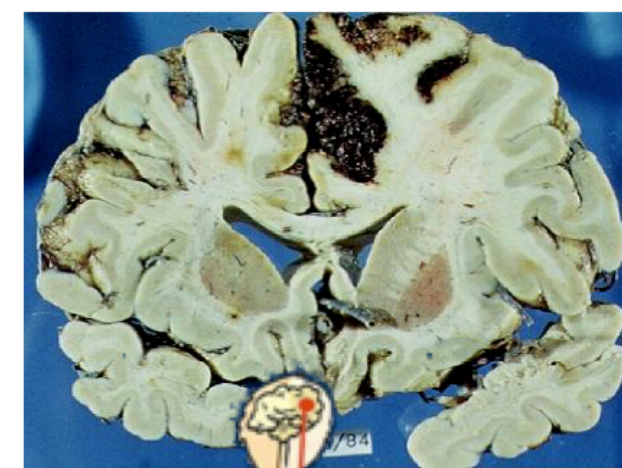
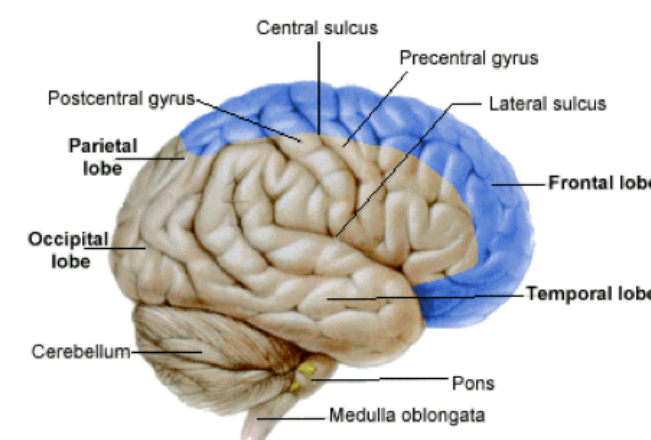


Correlación clínico-anatómica

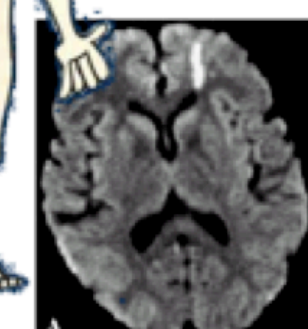
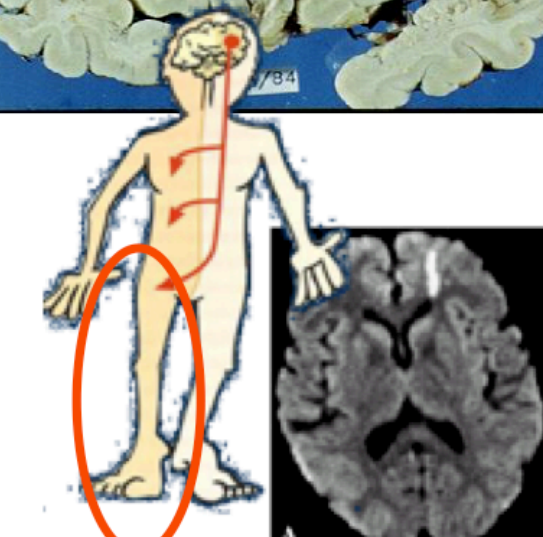
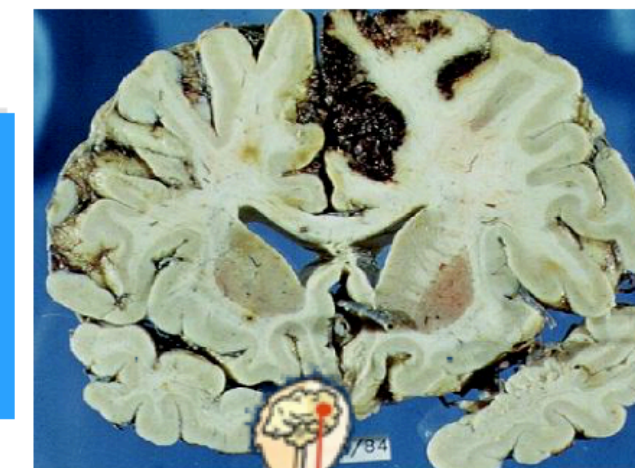
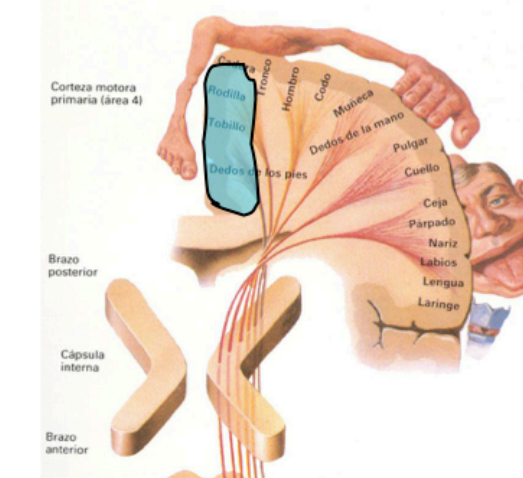


Ictus en territorio de la arteria cerebral anterior

- Paresia desproporcionada con afectación predominante de extremidad inferior



- Incontinencia urinaria
- Reflejo de presión palmar contralateral
- Abulia
- Apraxia de la marcha

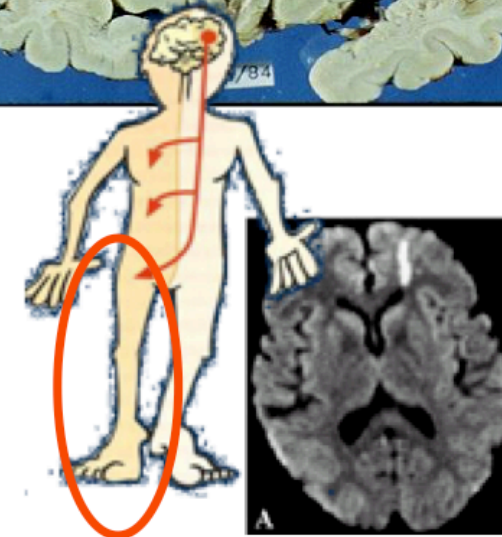
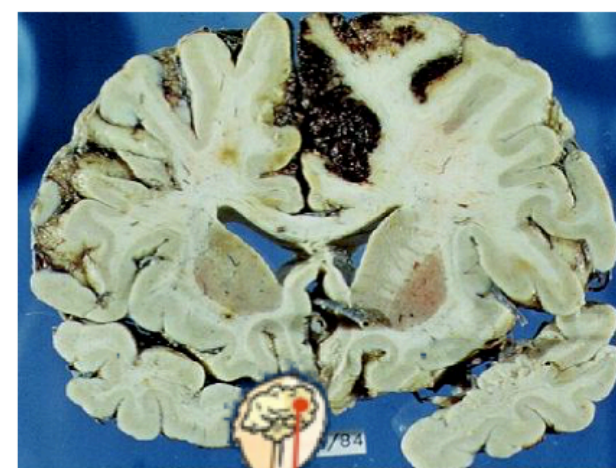
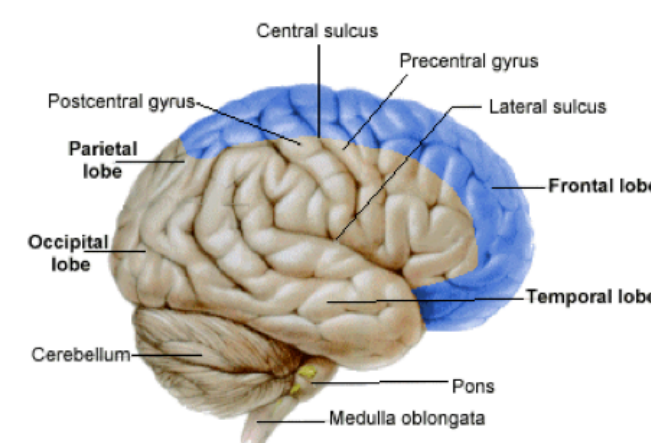


Correlación clínico-anatómica

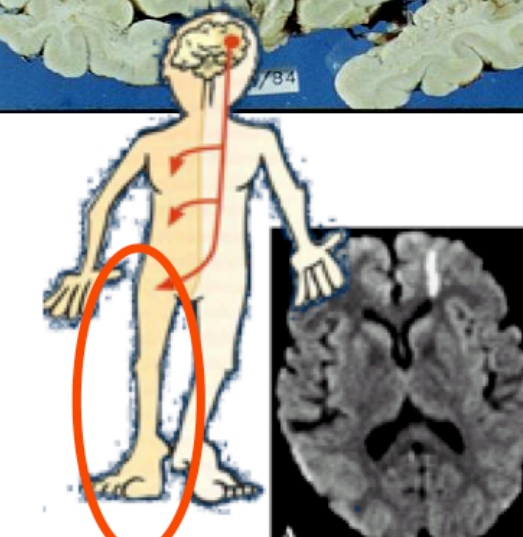
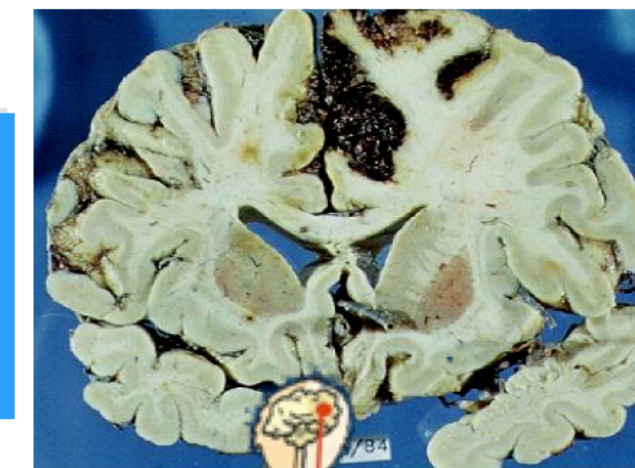
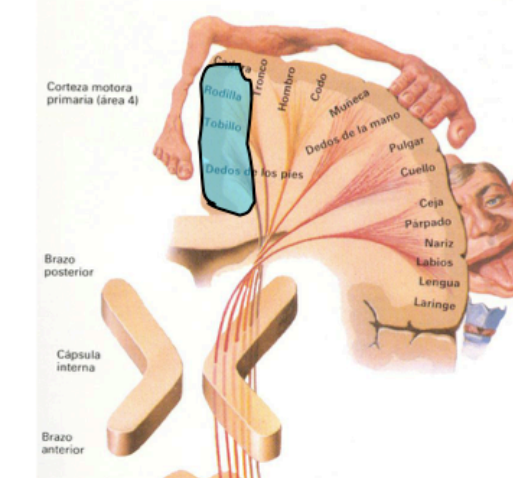


Ictus en territorio de la arteria cerebral anterior

- Paresia desproporcionada con afectación predominante de extremidad inferior



- Incontinencia urinaria
- Reflejo de presión palmar contralateral
- Abulia
- Apraxia de la marcha



Correlación clínico-anatómica



Ictus en territorio vertebro-basilar



- Afectación bilateral de tractos largos: motores y sensitivos
- Síndromes motores y sensitivos cruzados
- Afectación cerebelosa
- Afectación de pares craneales
- Afectación del nivel de conciencia
- Pérdida de movimientos conjugados de los ojos

Correlació clínico-anatòmica



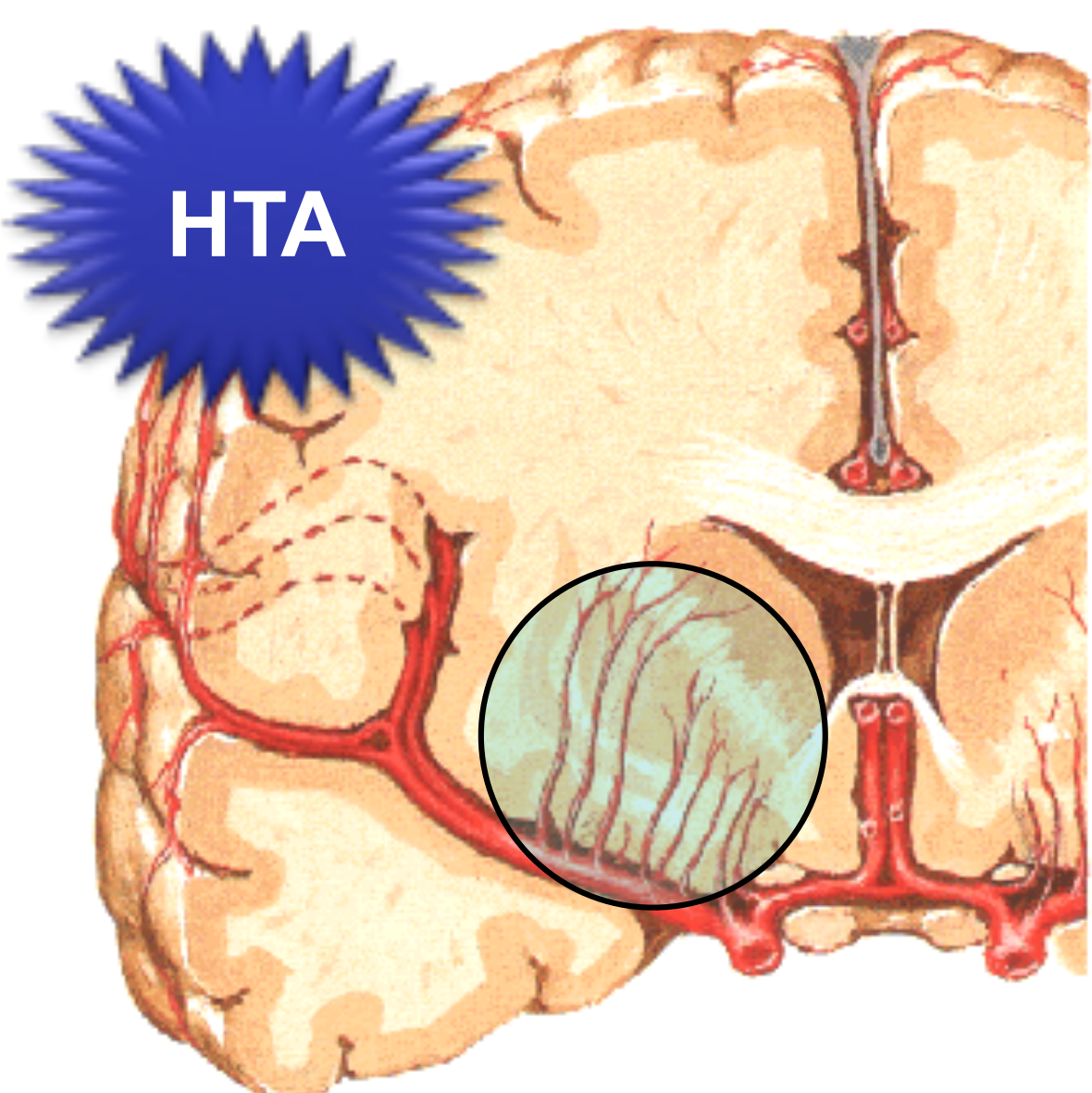
HTA

Infartos cerebrales <15 mm

Microateroma - lipohialinosis - necrosis fibrinoide

The image shows a coronal section of the brain with a blue starburst labeled 'HTA' pointing to the cerebral cortex. A circular inset shows a magnified view of a microarteriole with a thickened wall and a central lumen. Below the inset is a red box with the text 'Microateroma - lipohialinosis - necrosis fibrinoide'. To the left of the inset is another red box with the text 'Infartos cerebrales <15 mm'.

Pantoni L. Cerebral small vessel disease: From pathogenesis and clinical characteristics to therapeutic challenges. *Lancet Neurol.* 2010;9:689-701



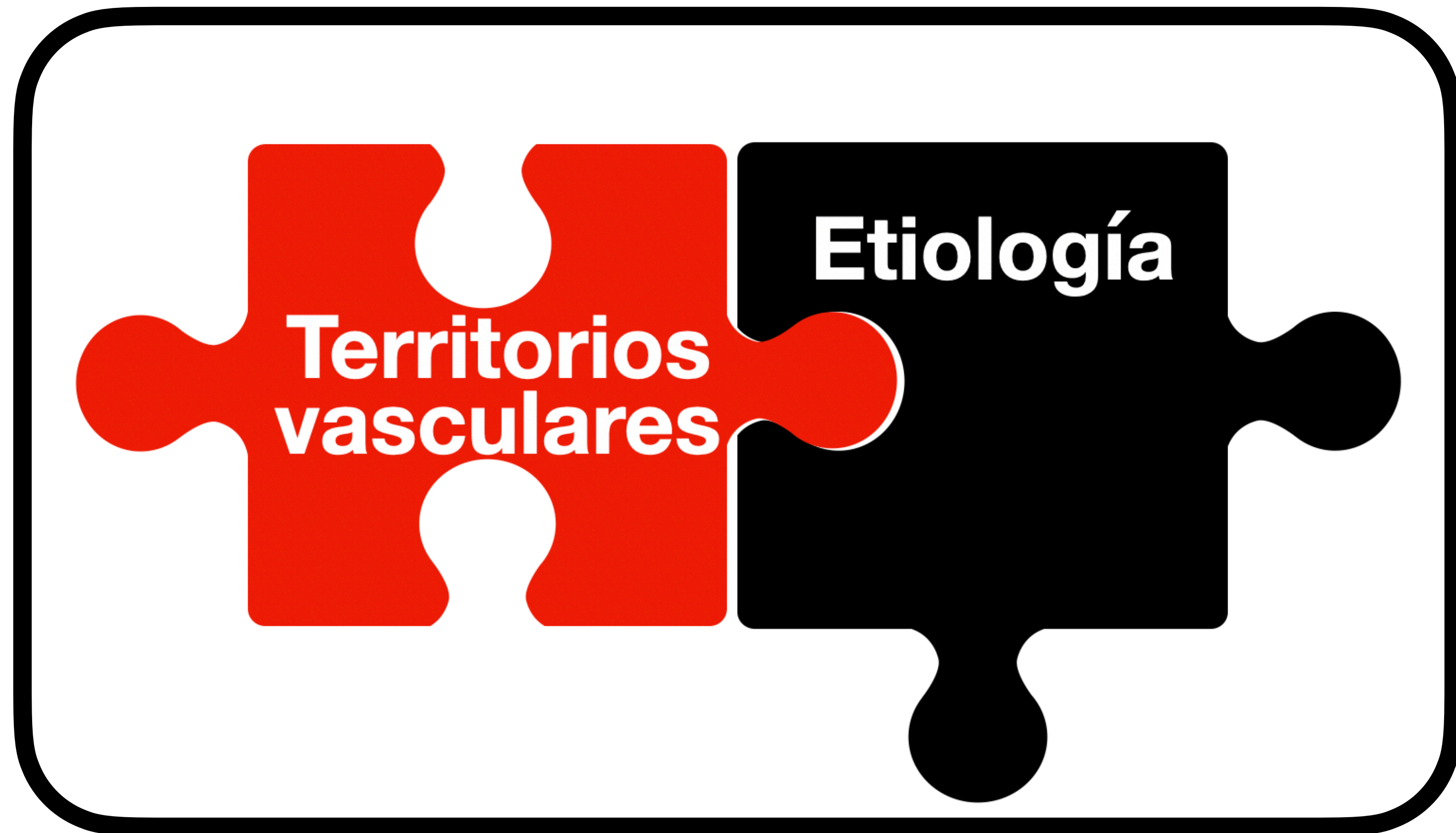
HTA

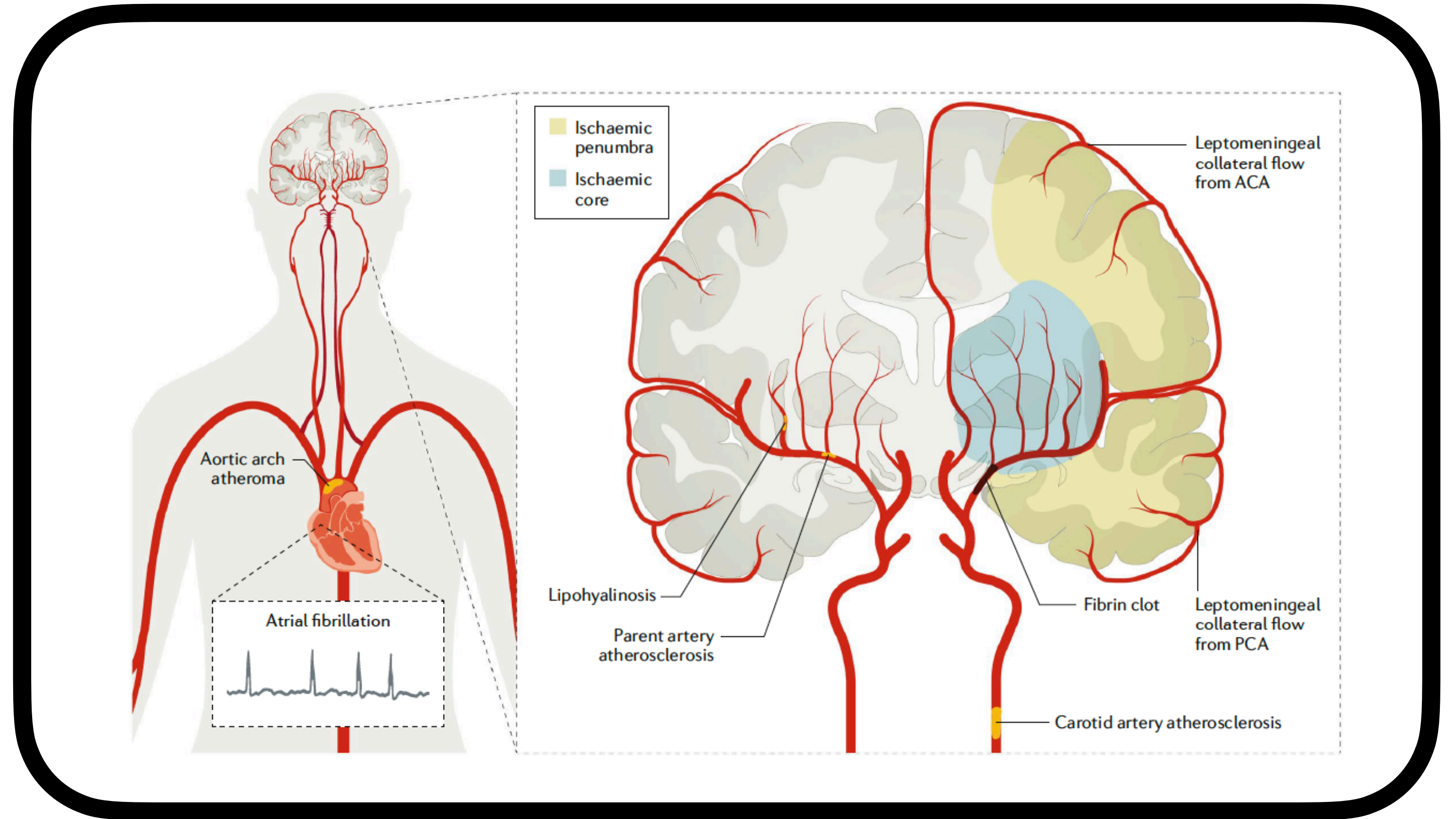
- Síndrome hemimotor puro
- Síndrome hemisensitivo
- Síndrome hemisensitivo-motor
- Síndrome de hemiparesia atáxica
- Síndrome de disartria-mano torpe

Infartos cerebrales <15 mm

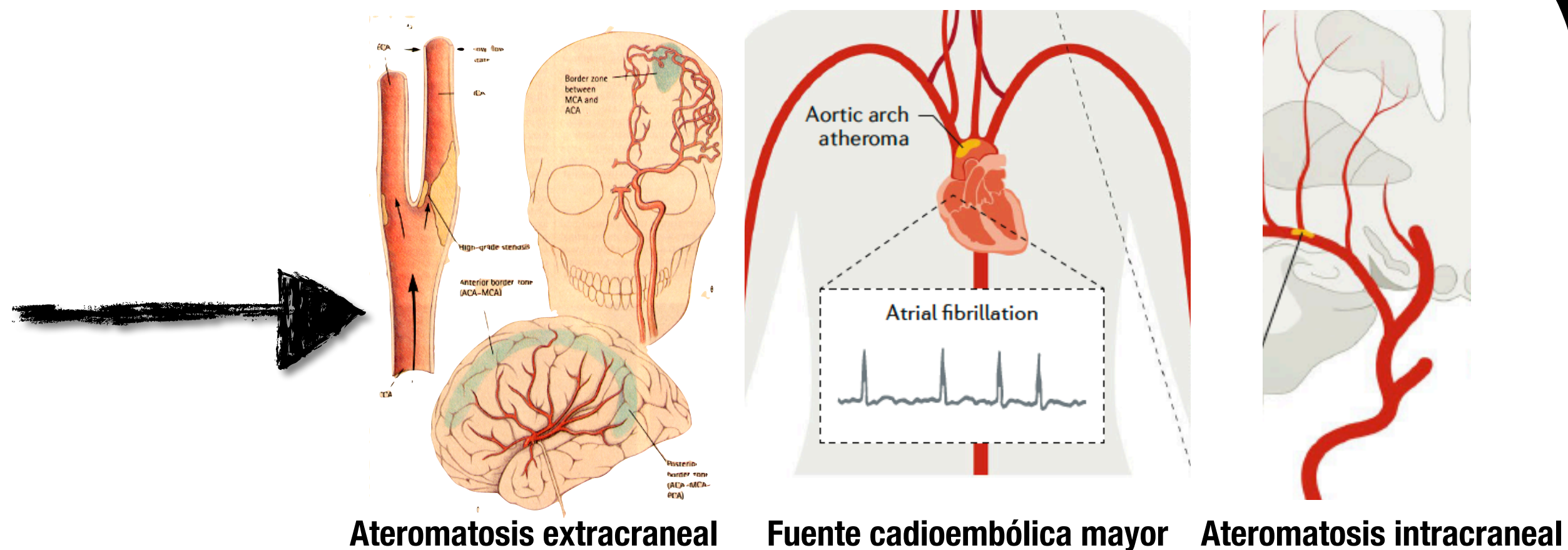
Microateroma - lipohialinosis - necrosis fibrinoide

Pantoni L. Cerebral small vessel disease: From pathogenesis and clinical characteristics to therapeutic challenges. *Lancet Neurol.* 2010;9:689-701

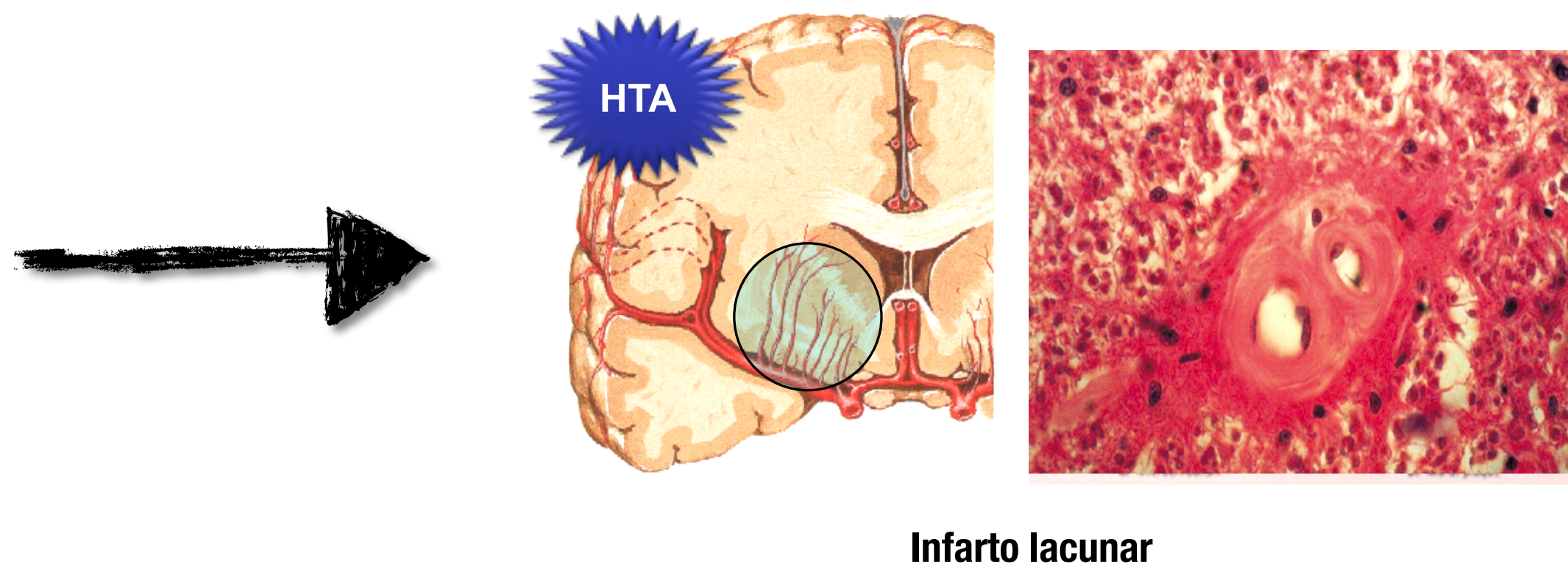


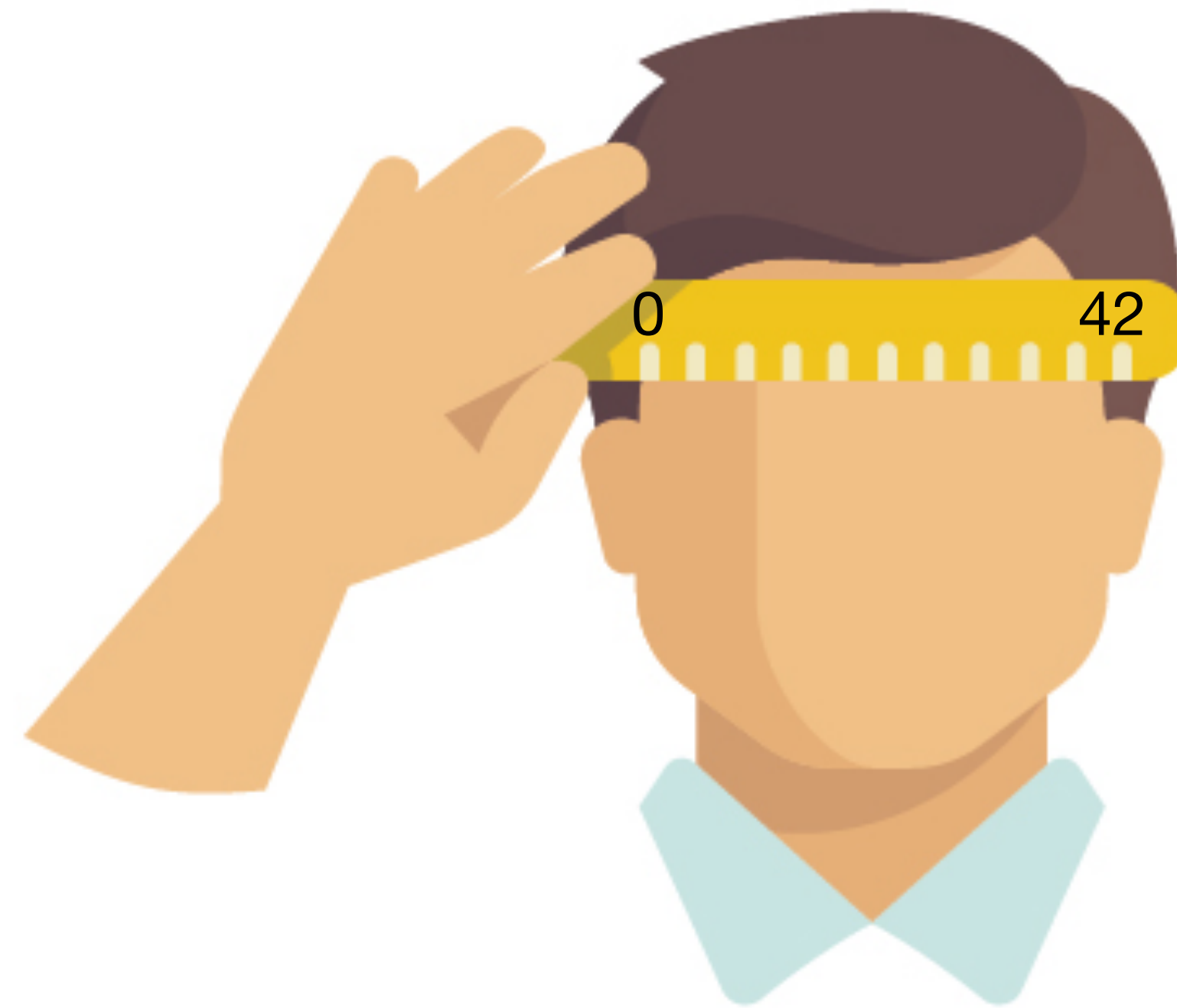


- **Sintomatología cortical:** *déficit campimétrico, negligencia, alteración disfásica/afásica*
- **Déficit motor y/o sensitivo desproporcionado en extremidades**



- **Ausencia de sintomatología cortical**
- **Déficit motor y/o sensitivo proporcionado en extremidades**





National Institutes of
Health Stroke Scale

NIHSS

NIVEL DE CONCIENCIA

MIRADA CONJUGADA

CAMPOS VISUALES

PARESIA FACIAL

PARESIA EXTREMIDADES SUPERIORES

PARESIA EXTREMIDADES INFERIORES

ATAXIA DE LAS EXTREMIDADES

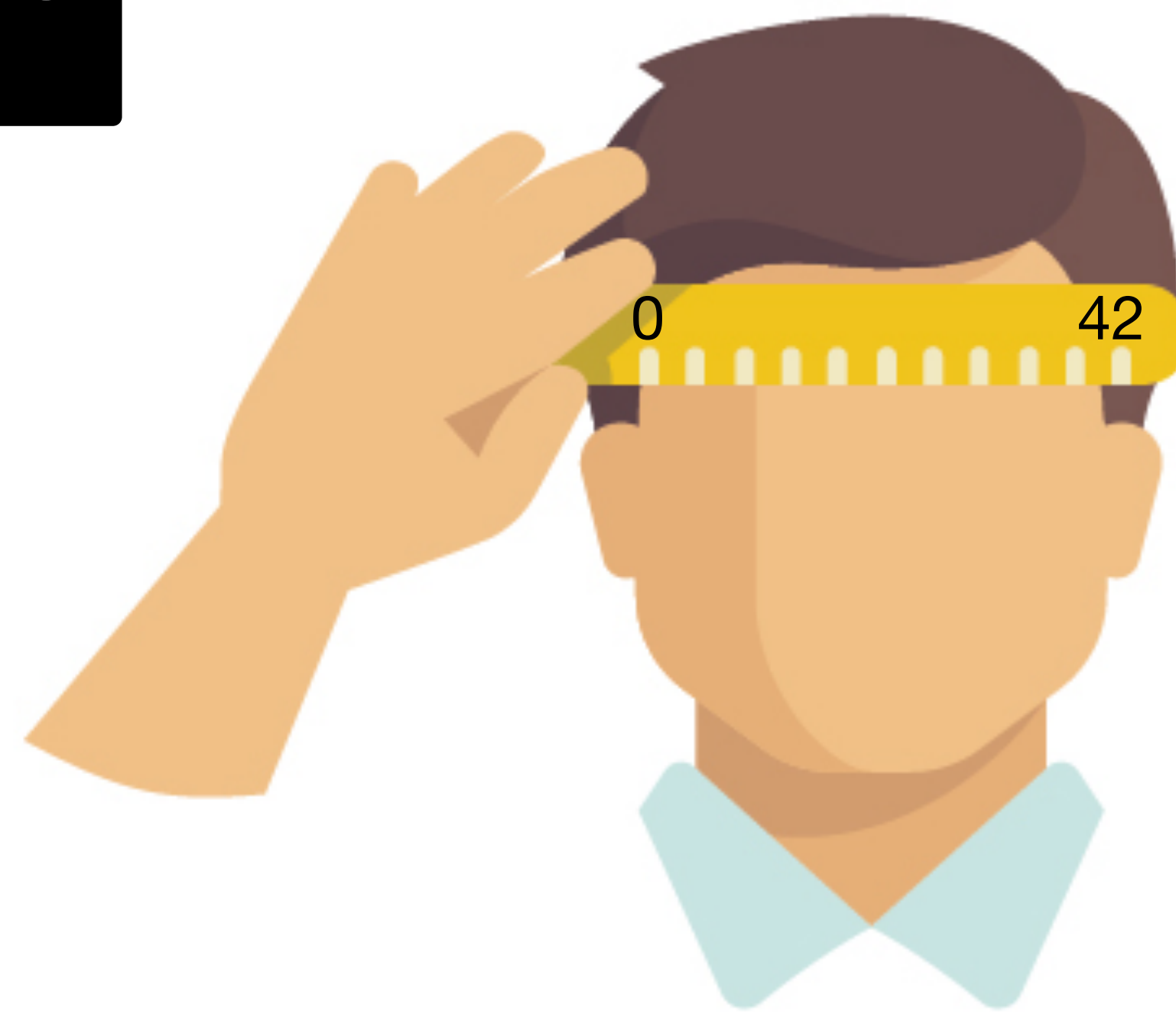
SENSIBILIDAD

LENGUAJE

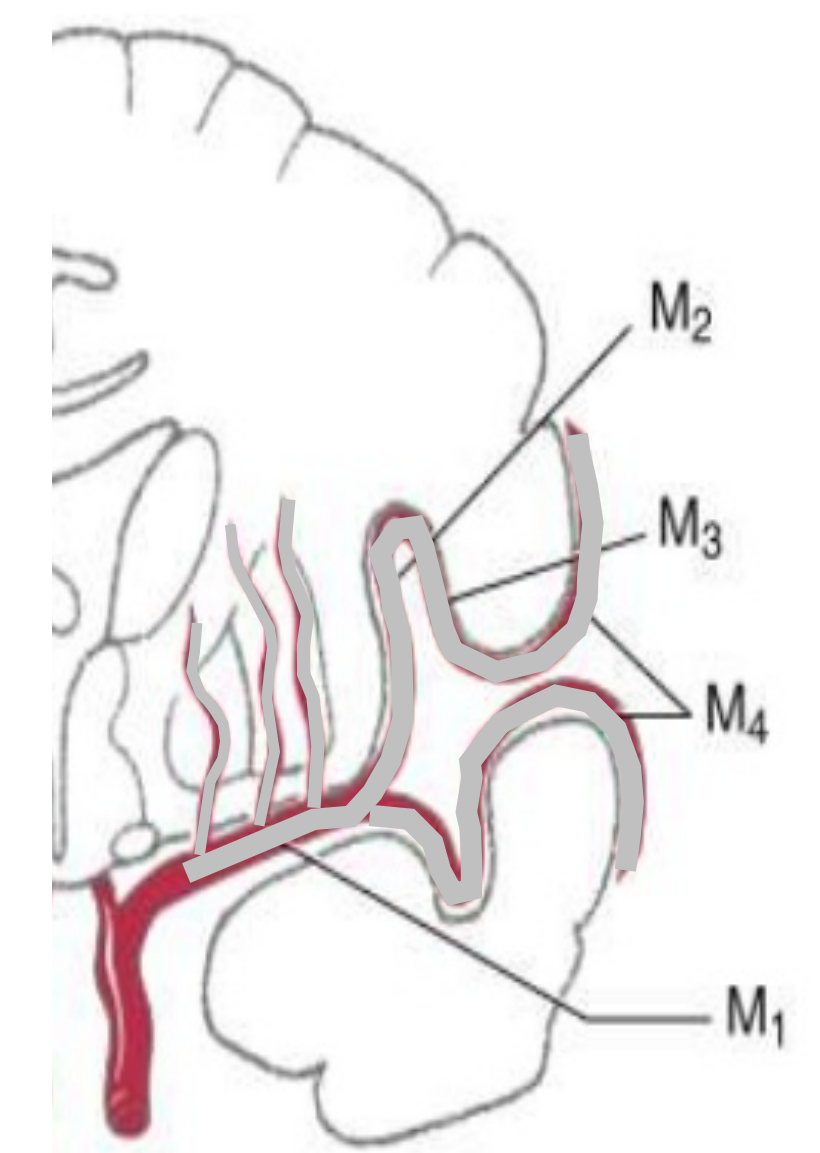
DISARTRIA

EXTINCIÓN-NEGLIGENCIA-INATENCIÓN

Fase aguda



National Institutes of
Health Stroke Scale
NIHSS



oclusión de gran vaso intracraneal

Fischer et al.. NIHSS score and arteriographic findings in acute ischemic stroke. Stroke. 2005; 36:2121-2125.
Heldner et al.. National Institutes of Health stroke scale score and vessel occlusion in 2152 patients with acute ischemic stroke. Stroke. 2013; 44:1153-1157.



Fase aguda

CÓDIGO ICTUS

ESCALA RACE

PARESIA HEMICUERPO IZQUIERDO		PARESIA HEMICUERPO DERECHO / AFASIA	
Paresia facial izquierda:		Paresia facial derecha:	
Ausente	0	Ausente	0
Ligera	1	Ligera	1
Moderada/Severa	2	Moderada/Severa	2
Paresia del brazo izquierdo:		Paresia del brazo derecho:	
Ausente/Ligera (>10seg)	0	Ausente/Ligera (>10seg)	0
Moderada (<10seg)	1	Moderada (<10seg)	1
Severa (no levanta)	2	Severa (no levanta)	2
Paresia de la pierna izquierda:		Paresia de la pierna derecha:	
Ausente/Ligera (>5seg)	0	Ausente/Ligera (>5seg)	0
Moderada (<5seg)	1	Moderada (<5seg)	1
Severa (no levanta)	2	Severa (no levanta)	2
Desviación oculo-cefálica a la derecha		Desviación oculo-cefálica a la izquierda	
Ausente	0	Ausente	0
Presente	1	Presente	1
Agnosia		Afasia	
Ausente	0	Obedece 2 órdenes	0
Asomatognosia o anosognosia	1	Obedece 1 orden	1
Asomatognosia y anosognosia	2	No obedece ninguna orden	2
TOTAL		TOTAL	

Puntuación de 0 – 9

A mayor puntuación, mayor gravedad del ictus

Pacientes con RACE ≥ 5 tienen una alta probabilidad de tener una oclusión de un gran vaso cerebral

Perez de la Ossa N., et al. Design and validation of a prehospital stroke scale to predict large arterial occlusion: The rapid arterial occlusion evaluation scale. Stroke. 2014;45:87-91

THE LANCET Neurology

ARTICLES | VOLUME 20, ISSUE 3, P213-221, MARCH 01, 2021

Comparison of eight prehospital stroke scales to detect intracranial large-vessel occlusion in suspected stroke (PRESTO): a prospective observational study

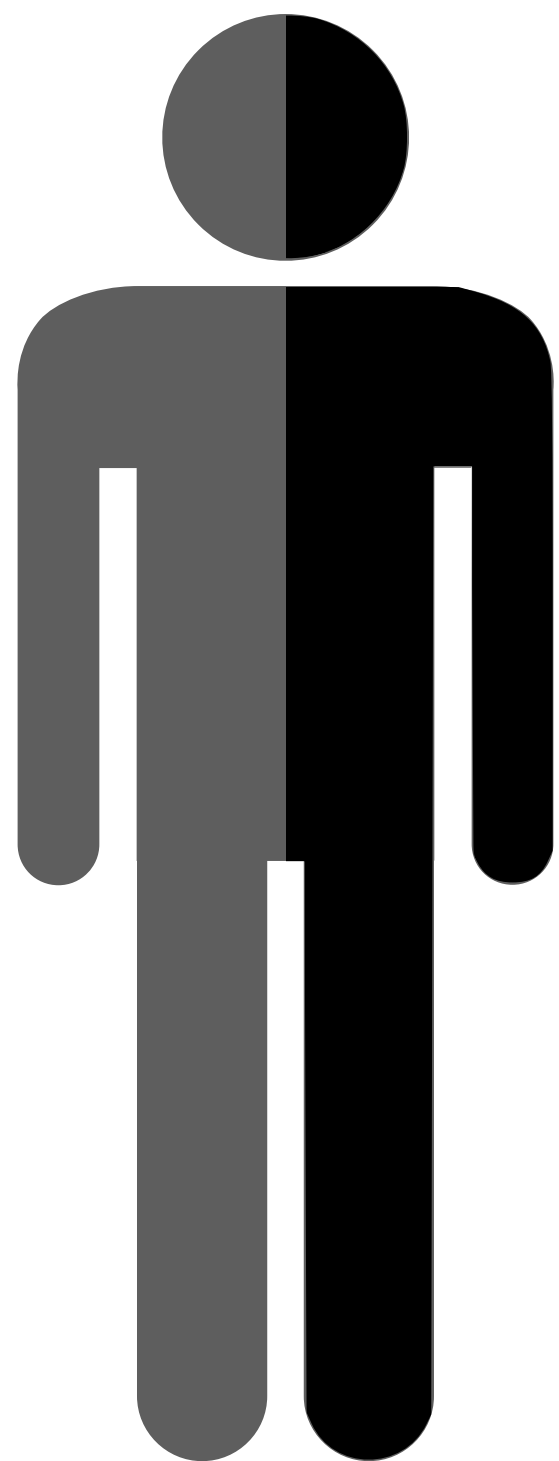
Martijne H C Duvekot, MD • Esmee Venema, MD • Anouk D Rozeman, MD • Walid Moudrous, MD •

Frédérique H Vermeij, MD • Marileen Biekart, MD • et al. [Show all authors](#) • [Show footnotes](#)

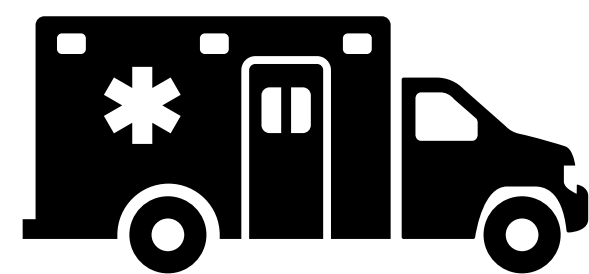




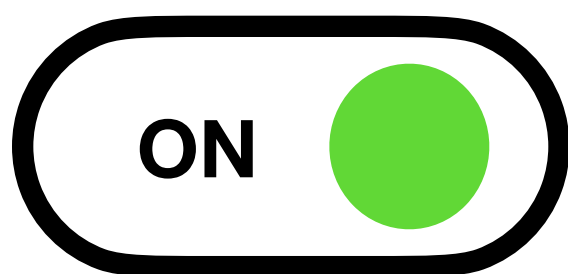
Fase aguda



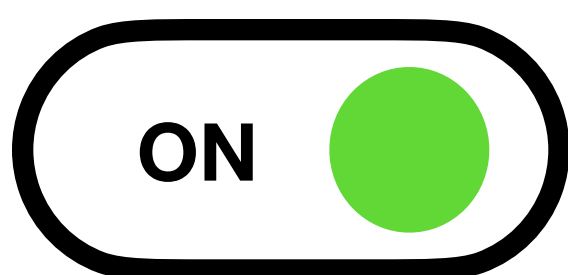
PACIENTE
SOSPECHA ICTUS



RAPID +



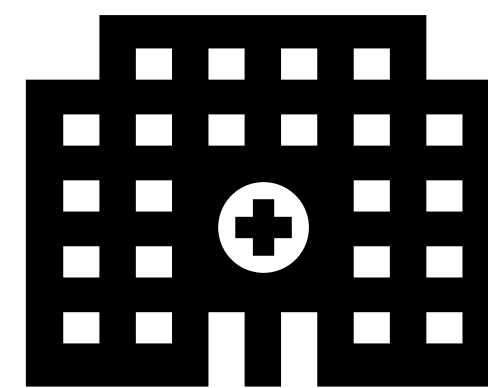
RANDOM -



RACE > 4



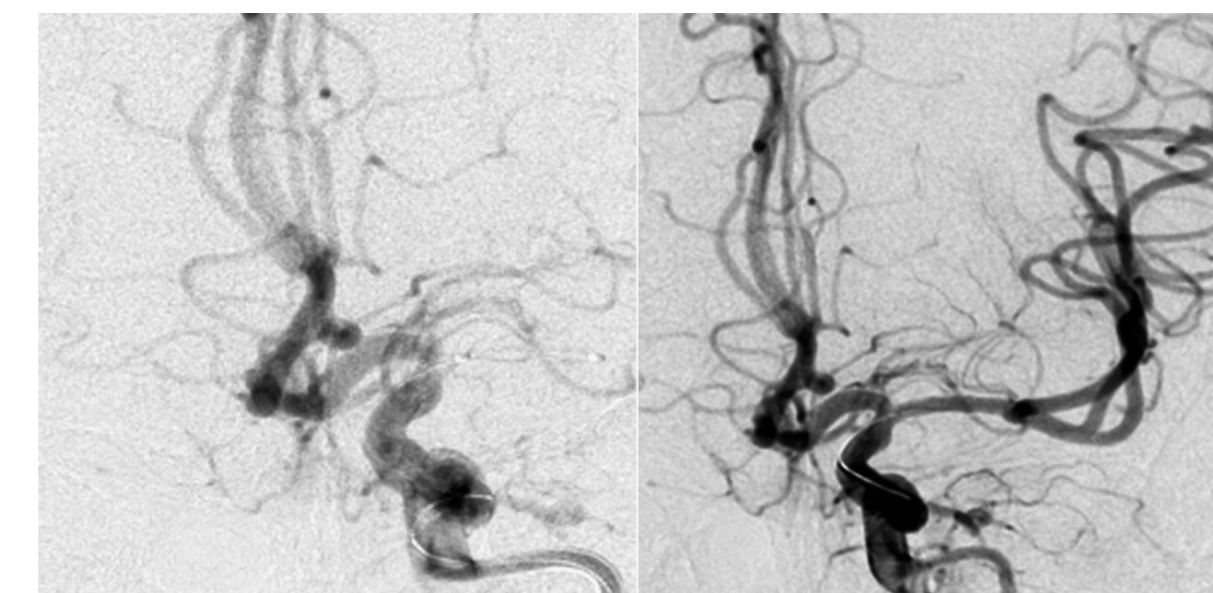
PREAVISO



Baja sospecha
oclusión intracraneal



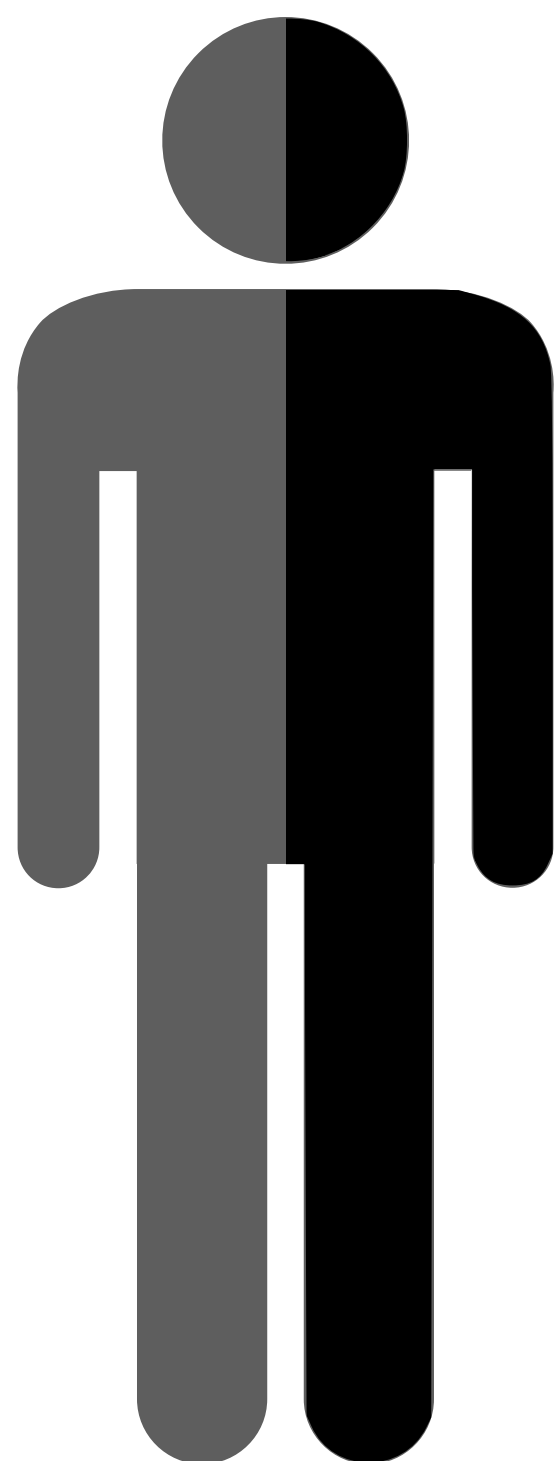
activado



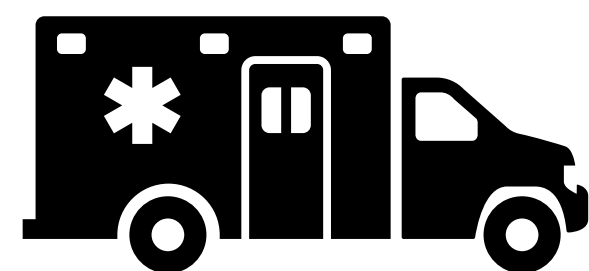
no activado



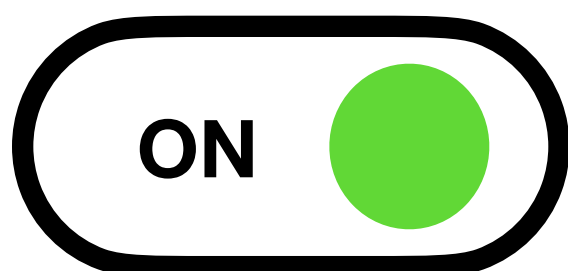
Fase aguda



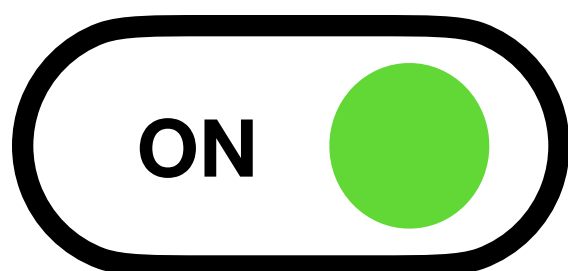
PACIENTE
SOSPECHA ICTUS



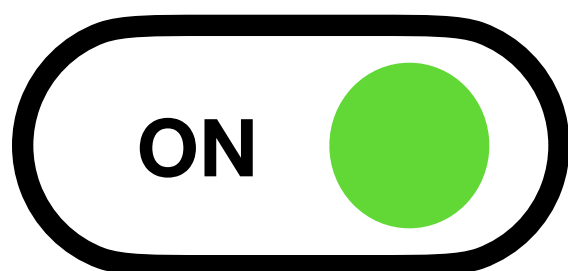
RAPID +



RANDOM -



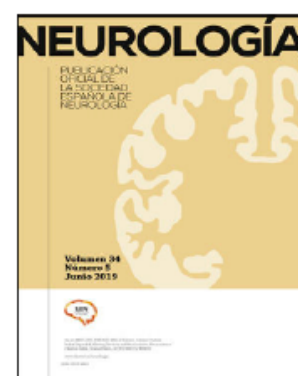
RACE > 4



PREAVISO

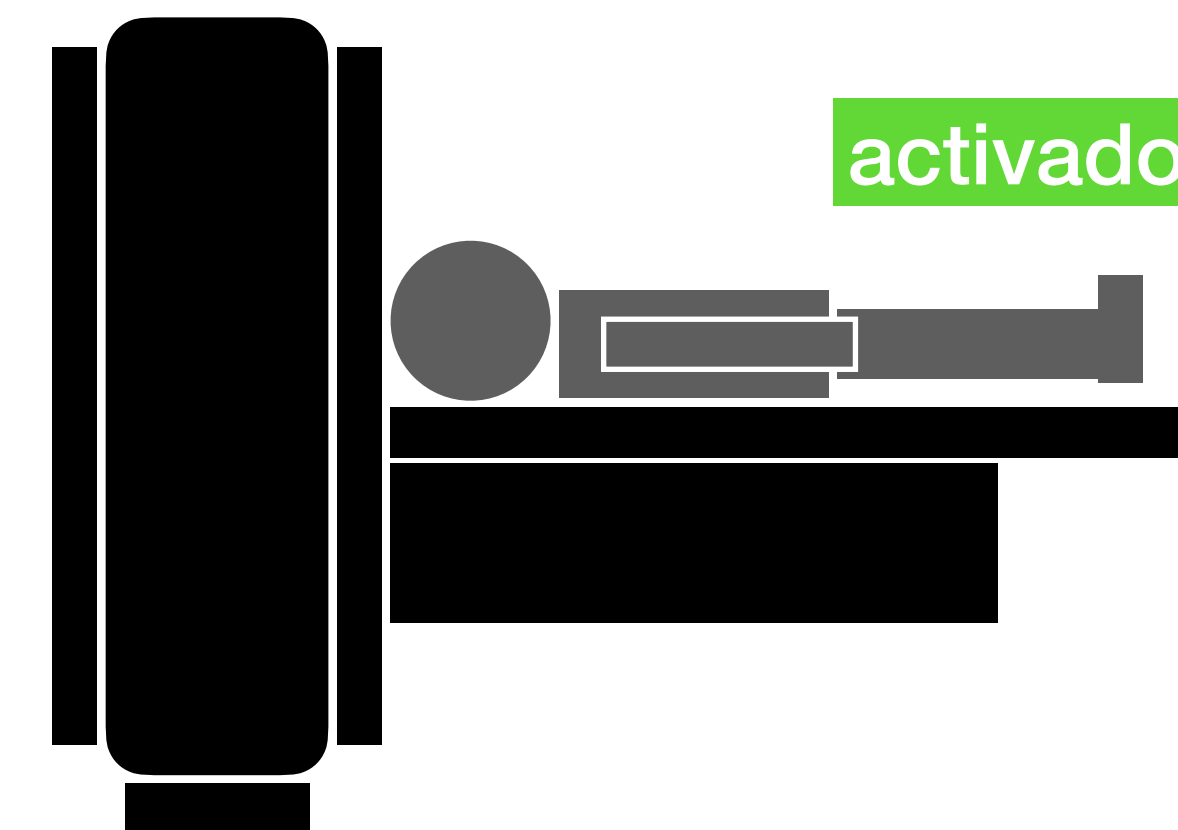
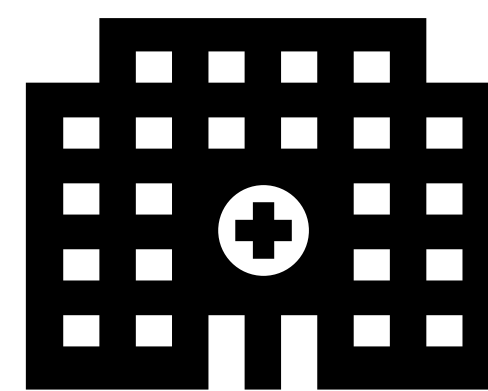


Alta sospecha oclusión
intracraneal

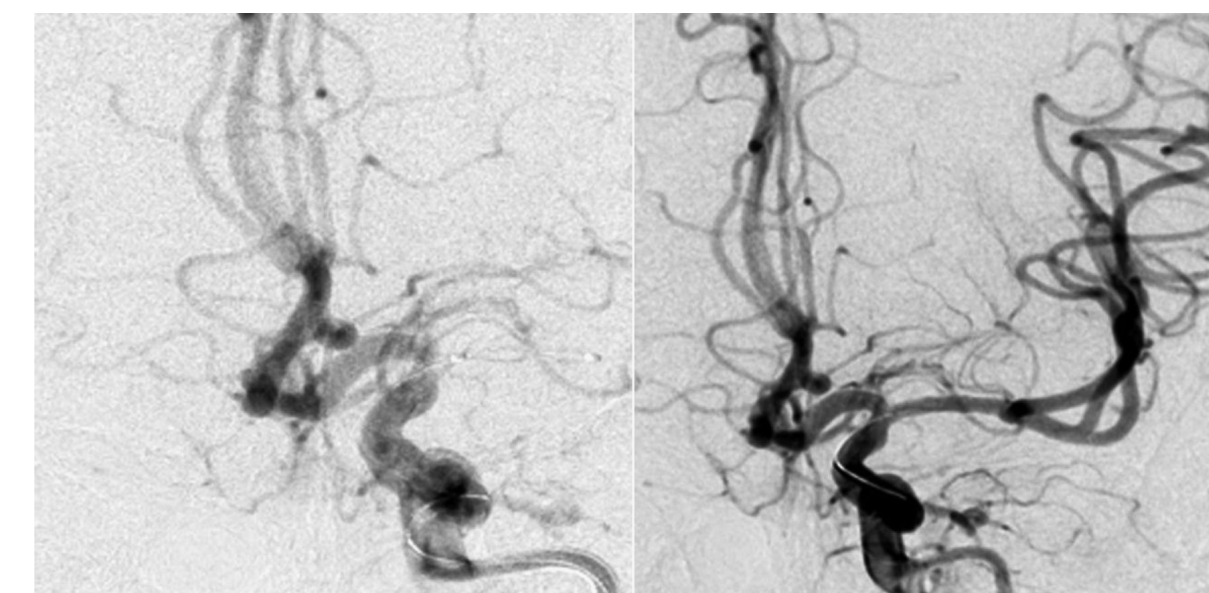


La influencia de la gestión organizativa en el tiempo puerta-aguja del tratamiento fibrinolítico

M. Vicente-Pascual^a, A. Quilez^a, M.P. Gil^a, C. González-Mingot^a, D. Vázquez-Justes^a, G. Mauri-Capdevila^a, J. Sanahuja^a, C. García-Vázquez^b y F. Purroy^{a,b,*}

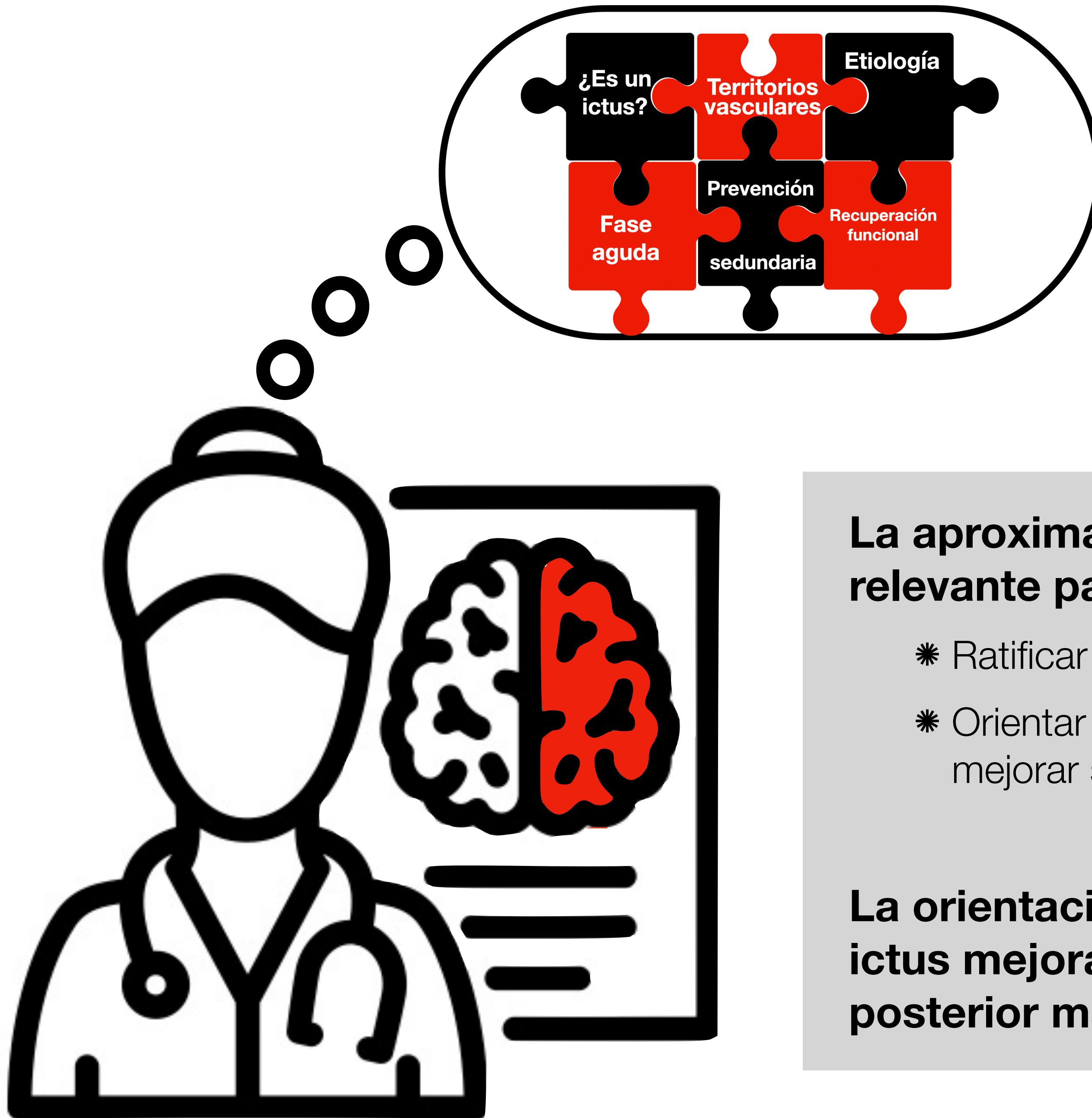


activado



activado

aproximación clínica del ictus



La aproximación clínica precoz del paciente con ictus es relevante para:

- * Ratificar la sospecha inicial de ictus
- * Orientar territorialmente el ictus para establecer su etiología y mejorar su estrategia terapéutica

La orientación pre-hospitalaria de la gravedad inicial del ictus mejora la calidad en la respuesta al *preaviso* y el posterior manejo del paciente en el ámbito hospitalario